



Universitatea
Transilvania
din Brașov

ȘCOALA DOCTORALĂ INTERDISCIPLINARĂ

Facultatea: Matematică și Informatică

Camelia SCHIOPU

Clase de fluxuri dinamice

Dynamic flows classes

REZUMAT / ABSTRACT

Conducător științific

Prof.dr. Eleonor CIUREA

BRAŞOV, 2019



COMPONENTĂ

Comisiei de doctorat

Numită prin ordinul Rectorului Universității Transilvania din Brașov

Nr. din

PREȘEDINTE:

Conf.dr. Eugen PĂLTĂNEA

Decanul Facultății de Matematică și Informatică

Universitatea *Transilvania* din Brașov

CONDUCĂTOR ȘTIINȚIFIC:

Prof.dr. Eleonor CIUREA

Universitatea *Transilvania* din Brașov

REFERENȚI:

Prof.dr. Ioan TOMESCU

Universitatea din București

Prof.dr. Cornelius CROITORU

Universitatea „Alexandru Ioan Cuza” din Iași

Conf.dr. Laura CIUPALĂ

Universitatea *Transilvania* din Brașov

Data, ora și locul susținerii publice a tezei de doctorat: 20.09.2019 ora 12.00, sala PI1.

Eventualele aprecieri sau observații asupra conținutului lucrării vor fi transmise electronic, în timp util, pe adresa camelia.s@unitbv.ro.

Totodată, vă invităm să luati parte la ședința publică de susținere a tezei de doctorat.

Vă mulțumim!



CUPRINS

	Pg. teza	Pg. rezumat
INTRODUCERE	5	7
1. FLUXURI ÎN REȚELE	8	10
1.1 Fluxuri în rețele statice oarecare	8	10
1.1.1 Noțiuni introductive	8	10
1.1.2 Fluxul maxim	9	11
1.1.3 Fluxul minim	12	13
1.2 Fluxuri în rețele statice speciale	15	15
1.2.1 Fluxuri maxime în rețele statice planare	15	15
1.2.2 Fluxuri minime în rețele statice planare	19	17
1.2.3 Fluxuri maxime în rețele statice bipartite	19	18
1.2.4 Fluxuri minime în rețele statice bipartite	22	20
1.3 Fluxuri în rețele dinamice oarecare	24	21
1.3.1 Fluxul maxim în rețele dinamice oarecare	24	21
1.3.2 Fluxul minim în rețele dinamice oarecare	28	26
2. FLUXURI ÎN REȚELE DINAMICE PLANARE	29	27
2.1 Fluxuri în rețele dinamice planare. Abordarea statică	29	27
2.1.1 Construcția rețelei statice expandate reduse cu drumuri dinamice	29	27
2.1.2 Fluxul maxim în rețele dinamice planare cu margine inferioară zero	30	28



2.2 Fluxuri în rețele dinamice planare. Abordarea dinamică	34	29
2.2.1 Fluxul maxim în rețele dinamice planare cu margine inferioară zero	34	29
2.2.2 Fluxul maxim în rețele dinamice planare cu margine inferioară pozitivă	38	30
2.2.3 Fluxul minim în rețele dinamice planare	46	34
3. FLUXURI ÎN REȚELE DINAMICE BIPARTITE	49	36
3.1 Fluxuri în rețele dinamice bipartite. Abordarea statică	49	36
3.1.1 Fluxuri maxime în rețele dinamice bipartite cu margine inferioară zero	49	36
3.1.2 Fluxuri maxime în rețele dinamice bipartite cu margine inferioară pozitivă	54	38
3.1.3 Fluxuri minime în rețele dinamice bipartite	58	40
3.2 Fluxuri în rețele dinamice bipartite. Abordarea dinamică	62	42
3.2.1 Fluxul maxim în rețele dinamice bipartite cu marginea inferioară zero	62	42
4. APLICAȚII ȘI CONCLUZII	66	44
4.1 Aplicații	66	44
4.2 Concluzii	68	46
BIBLIOGRAFIE SELECTIVĂ	70	50
ANEXE	77	54
Anexa 1. Scurt rezumat al tezei	78	54
Anexa 2. Curriculum vitae	80	56



CONTENTS

	Thesis page	Abs. page
INTRODUCTION	5	7
1. FLOWS IN NETWORKS	8	10
1.1 Flows in general static networks	8	10
1.1.1 Introductory notions	8	10
1.1.2 Maximum flow	9	11
1.1.3 Minimum flow	12	13
1.2 Flows in special static networks	15	15
1.2.1 Maximum flows in planar static networks	15	15
1.2.2 Minimum flows in planar static networks	19	17
1.2.3 Maximum flows in bipartite static networks	19	18
1.2.4 Minimum flows in bipartite static networks	22	20
1.3 Flows in general dynamic networks	24	21
1.3.1 Maximum flow in general dynamic networks	24	21
1.3.2 Minimum flow in general dynamic networks	28	26
2. FLOWS IN PLANAR DYNAMIC NETWORKS	29	27
2.1 Flows in planar dynamic networks. The static approach	29	27
2.1.1 Construction of the static reduced expanded network with dynamic paths	29	27
2.1.2 Maximum flows in planar dynamic networks with lower bound zero	30	28



2.2 Flows in planar dynamic networks. The dynamic approach	34	29
2.2.1 Maximum flows in planar dynamic networks with lower bound zero	34	29
2.2.2 Maximum flows in planar dynamic networks with positive lower bound	38	30
2.2.3 Minimum flows in planar dynamic networks	46	34
3. FLOWS IN BIPARTITE DYNAMIC NETWORKS	49	36
3.1 Flows in bipartite dynamic networks. The static approach	49	36
3.1.1 Maximum flows in bipartite dynamic networks with lower bound zero	49	36
3.1.2 Maximum flows in bipartite dynamic networks with positive lower bound	54	38
3.1.3 Minimum flows in bipartite dynamic networks	58	40
3.2 Flows in bipartite dynamic networks. The dynamic approach	62	42
3.2.1 Maximum flow in bipartite dynamic networks with lower bound zero	62	42
4. APPLICATIONS AND CONCLUSIONS	66	44
4.1 Applications	66	44
4.2 Conclusions	68	46
SELECTED BIBLIOGRAPHY	70	50
APPENDICES	77	54
Appendix 1. PhD. Thesis Abstract	78	54
Appendix 2. Curriculum vitae	80	56

Introducere

Studiul fluxurilor în rețele implică o abordare interdisciplinară la granița dintre domenii de cercetare importante: matematici aplicate, informatică, inginerie, management pe de o parte și cercetări operaționale pe de altă parte, cunoșcând o dezvoltarea importantă nu doar datorită numeroaselor aplicații directe ale problemelor din viața reală, ci și datorită faptului că au fost dezvoltăți algoritmi eficienți pentru probleme mai generale din domeniul cercetării operaționale sau al algoritmicii grafurilor. Studiile privind fluxurile în rețele sunt extinse, iar cercetătorii au făcut, în ultimii ani, îmbunătățiri continue ale algoritmilor pentru rezolvarea mai multor clase de probleme.

Modelele de fluxuri în rețele dinamice nu au fost investigate într-o formă atât de detaliată ca modelele clasice de flux, din cauza complexității modelelor dinamice ale fluxului de rețea, în comparație cu cele statice. Fluxurile dinamice sunt utilizate pe scară largă pentru a modela structurarea rețelelor, a problemelor de luare a deciziilor în timp: probleme în comunicarea electronică, producție și distribuție, planificarea economică, programarea locurilor de muncă și transportul. Deși există metode foarte eficiente de obținere a soluțiilor pentru problemele legate de fluxul static, problemele de flux în rețele dinamice s-au dovedit mai dificil de rezolvat.

În această lucrare se formulează și se cercetează modelele dinamice de aflare a fluxului maxim și a fluxului minim în rețele planare și bipartite. În continuare prezentăm structura acestei lucrări.

Capitolul 1, **Fluxuri în rețele**, descrie noțiuni generale privind fluxurile în rețele, noțiuni utilizate pe parcursul acestei lucrări. Acest capitol prezintă algoritmi pentru determinarea fluxurilor în rețele statice oarecare (paragraful 1.1) și în rețele statice speciale (paragraful 1.2), precum și algoritmi pentru determinarea fluxurilor în rețele dinamice oarecare (paragraful 1.3). Algoritmi prezentați în acest capitol stau la baza dezvoltării unor algoritmi prezentați în capitolele 2 și 3.

În capitolul al doilea, **Fluxuri în rețele dinamice planare**, am prezentat modul în care este construită rețeaua statică expandată redusă cu drumuri dinamice. De asemenea, am studiat algoritmi pentru flux maxim, cazul cu margine inferioară zero, folosind abordarea statică

(paragraful 2.1). În paragraful 2.2 am prezentat algoritmi pentru flux maxim, cazul cu margine inferioară zero, cât și cel cu margine inferioară pozitivă și algoritmi pentru flux minim, folosind abordarea dinamică. Algoritmii propuși sunt prezentați, în detaliu, în pseudocod. Pentru fiecare algoritm am prezentat câte un exemplu sugestiv. Rezultatele acestui capitol au fost publicate sau sunt trimise spre publicare în lucrările: [30], [31], [66], [67], [69], [70], [71], [73] și [33].

Capitolul al treilea, **Fluxuri în rețele dinamice bipartite**, este dedicat studiului fluxurilor în rețele dinamice bipartite. În această secțiune am studiat problema fluxului maxim și cea a fluxului minim în rețele dinamice bipartite folosind abordarea statică (paragraful 3.1). În paragraful 3.2 am studiat problema fluxului maxim în rețele dinamice bipartite cu margine inferioară zero folosind abordarea dinamică. Am rezolvat aceste probleme prin reformularea problemelor în probleme în rețea statică bipartită. Rezultatele acestui capitol au fost publicate sau sunt trimise spre publicare în lucrările [32], [65], [68], [70], [72] și [74].

În ultimul capitol, **Aplicații și concluzii**, sunt prezentate aplicațiile și concluziile obținute în urma cercetării claselor de fluxuri dinamice, fiind descrise contribuțiile aduse temei abordate. În paragraful 4.1 este prezentată o aplicație referitor la evacuarea unei clădiri modelată ca o problemă de flux dinamic. Această aplicație reprezintă conținutul unui articol al autoarei acestei teze [66]. În paragraful 4.2 este realizată o analiză comparativă a complexității algoritmilor, referitor la cele două abordări, și anume: abordarea statică și cea dinamică. Tot aici sunt enunțate câteva probleme de cercetare deschise, legate de rezultatele capitolelor anterioare.

Articolele publicate sau trimise spre publicare sunt următoarele:

a. articole publicate în reviste:

- [65] Annals of the University of Craiova, Mathematics and Computer Science Series (categoria C);
- [67] Bulletin of the Transilvania University of Brașov Series V (categoria D);
- [68] Bulletin of the Transilvania University of Brașov Series III (categoria D);
- [70] The International Journal of Computers Communications and Control (categoria C);
- [71] The International Journal of Computers Communications and Control (categoria C);
- [73] Fundamenta Informaticae, Annales Societatis

Mathematicae Polonae (categoria B).

b. articole prezentate și publicate în proceedingurile unor conferințe internaționale:

- [66] ICMA - The 14th International Conference on Mathematics and its Applications, 5-7th November 2015, Timișoara;
- [72] Proceedings in IEEE Xplore of the 6th International Conference on Computers, Communications and Control (categoria D);
- [33] 6th International Conference on Control, Decision and Information Technologies, 2019 (categoria D).

c. articole trimise la reviste și conferințe spre publicare:

- [32] Informatica an International Journal of Computing and Informatics (categoria C);
- [69] Romanian Journal of Information Science and Technology (categoria C);
- [74] Bulletin of the Transilvania University of Brașov Series III (categoria D).

d. articole conexe realizate de-a lungul studiilor doctorale:

- [31] Journal of Circuits, Systems, and Computers, trimis spre publicare (categoria C);
- [30] Proceedings in IEEE Xplore of the 5th International Conference on Control, Decision and Information Technologies (CoDiT'18) (categoria D).

* * *

Aduc mulțumiri domnului profesor dr. Eleonor Ciurea, coordonatorul acestei teze de doctorat, pentru încrederea pe care a avut-o în mine, pentru răbdarea și înțelegerea de care a dat doavă de-a lungul anilor de pregătire a studiilor mele doctorale, pentru sprijinul constant acordat în activitatea științifică și pentru faptul că a fost mereu alături de mine și m-a stimulat să public rezultatele cercetării în reviste și conferințe cu vizibilitate internațională.

1. Fluxuri în rețele

1.1 Fluxuri în rețele statice oarecare

1.1.1 Noțiuni introductive

Definitia 1.1. Se numește graf orientat un triplet $G = (N, A, q)$ format din multimea arcelor A , multimea nodurilor N și dintr-o aplicație $q : A \rightarrow N \times N$ numită funcție de incidență care asociază o pereche ordonată $(i, j) \in N \times N$ cu $i \neq j$ pentru orice arc $a \in A$.

Definitia 1.2. Dacă oricare pereche ordonată $(i, j) \in N \times N$ este imaginea a cel mult q , $q > 1$, elemente din A , atunci $G = (N, A, q)$ se numește multigraf orientat.

Definitia 1.3. Un graf orientat cu $q = 1$ se numește digraf și se notează cu $G = (N, A)$.

Definitia 1.4. Se numește lanț de la nodul i_1 la nodul i_{k+1} o secvență $L = (i_1, a_1, i_2, \dots, i_k, a_k, i_{k+1})$, $i_j \in N$, $a_j \in A$, $j = \overline{1, k+1}$ cu proprietatea că fiecare arc a_j este de forma (i_k, i_{k+1}) sau (i_{k+1}, i_k) . Dacă nodurile din secvență sunt distințe atunci lanțul se numește elementar.

Definitia 1.5. Un lanț $L = (i_1, a_1, i_2, \dots, i_k, a_k, i_{k+1})$ al grafului orientat $G = (N, A, q)$, în care fiecare arc a_j este arc direct, adică este de forma $a_j = (i_j, i_{j+1})$, $j = 1, \dots, k$, se numește lanț elementar orientat sau drum elementar și se notează cu D .

Definitia 1.6. Un lanț orientat cu $i_{k+1} = i_1$ se numește ciclu orientat sau circuit și se notează cu $\overset{\circ}{D}$.

Definitia 1.7. O tăietură este o partiziționare a mulțimii nodurilor N în două submulțimi X și $\bar{X} = N - X$.

Definitia 1.8. O tăietură $[X, \bar{X}]$ cu $1 \in X$ și $n \in \bar{X}$ se numește tăietură $1 - n$.

Definitia 1.9. O rețea statică $G = (N, A, l, u)$ este un digraf $G = (N, A)$, $N = \{1, \dots, i, \dots, n\}$, $A = \{a_1, \dots, a_k, \dots, a_m\}$ în care se definesc funcțiile $l : A \rightarrow \mathbb{R}_+$ numită margine inferioară și $u : A \rightarrow \mathbb{R}_+$ numită margine superioară (capacitate) cu $l \leq u$. Nodul 1 reprezintă nodul sursă și nodul n reprezintă nodul stoc.

Definitia 1.10. Un flux este o funcție $f : A \rightarrow \mathbb{R}_+$ care satisfacă

următoarele condiții:

$$f(i, N) - f(N, i) = \begin{cases} v, & \text{dacă } i = 1 \\ 0, & \text{dacă } i \neq 1, n \\ -v, & \text{dacă } i = n \end{cases} \quad (1.1a)$$

cu valoarea fluxului $v \geq 0$, $f(i, N) = \sum_{j \in N} f(i, j)$, $f(N, i) = \sum_{k \in N} f(k, i)$ și $f(i, j) = 0$ pentru perechile $(i, j) \notin A$. Dacă sunt îndeplinite și condițiile:

$$l(i, j) \leq f(i, j) \leq u(i, j), \quad (i, j) \in A \quad (1.1b)$$

atunci f este un flux admisibil.

Definiția 1.11. Capacitatea reziduală $r(i, j)$ pentru problema fluxului maxim a oricărui arc $(i, j) \in A$, în rețeaua $G = (N, A, l, u)$ este dată de fluxul adițional maxim care poate fi trimis de la nodul i la nodul j utilizând arcele (i, j) și (j, i) și este $r(i, j) = u(i, j) - f(i, j) + f(j, i) - l(j, i)$.

1.1.2 Fluxul maxim

Problema fluxului maxim în rețele statice cu margini inferioare pozitive își propune să găsească o soluție care trimită fluxul maxim de la un nod (sursă) la alt nod (destinație), cu constrângerea că marginile inferioare și superioare ale arcelor, în rețea, sunt satisfăcute. Mai mulți algoritmi eficienți au fost dezvoltăți pentru rezolvarea acestei probleme și sunt prezentăți în lucrarea autorilor Ahuja, Magnanti și Orlin [2] și în lucrările altor autori prezențăți în bibliografie.

Definiția 1.12. Pentru problema fluxului maxim definim capacitatea tăieturii $1 - n$ $[X, \bar{X}]$ astfel:

$$c[X, \bar{X}] = \sum_{(X, \bar{X})} u(i, j) - \sum_{(\bar{X}, X)} l(j, i) \quad (1.2)$$

Dacă folosim notația $\sum_{(X, \bar{X})} b(i, j) = b(X, \bar{X})$ atunci pentru capacitatea tăieturii $[X, \bar{X}]$ putem folosi relația

$$c[X, \bar{X}] = u(X, \bar{X}) - l(\bar{X}, X) \quad (1.3)$$

Dacă $l(i, j) = 0$ pentru $(i, j) \in A$ atunci $c[X, \bar{X}] = u(X, \bar{X})$ este relația de definiție a capacitatii unei tăieturi în cazul în care marginile inferioare sunt nule.

Definiția 1.13. O tăietură $1 - n$ a cărei capacitate este minimă între toate tăieturile $1 - n$ se numește tăietură $1 - n$ minimă și se notează $[X^*, \bar{X}^*]$.

Teorema 1.1. Dacă f este un flux de valoare v în rețeaua $G = (N, A, l, u)$ și $[X, \bar{X}]$ o tăietură $1 - n$ atunci f verifică relațiile:

$$v = f[X, \bar{X}] \leq c[X, \bar{X}], \quad f[X, \bar{X}] = f(X, \bar{X}) - f(\bar{X}, X) \quad (1.4)$$

Teorema 1.2. Într-o rețea $G = (N, A, l, u)$ valoarea fluxului maxim de la nodul sursă 1 la nodul stoc n este egală cu capacitatea tăieturii $1 - n$ minime $[X^*, \bar{X}^*]$, adică:

$$v = f[X^*, \bar{X}^*] = c[X^*, \bar{X}^*] \quad (1.5)$$

Pentru problema fluxului maxim un preflux f este o funcție $f : A \rightarrow \mathbb{N}$ care satisfac următoarele condiții:

$$f(N, i) - f(i, N) \geq 0, i \in N - \{1, n\} \quad (1.6a)$$

$$l(i, j) \leq f(i, j) \leq u(i, j), (i, j) \in A \quad (1.6b)$$

Un pseudoflux este o funcție care satisfac doar constrângerea 1.6b.

Pentru un preflux f excesul fiecărui nod $i \in N$ este

$$e(i) = f(N, i) - f(i, N) \quad (1.7)$$

și dacă $e(i) > 0$, $i \in N - \{1, n\}$ atunci vom spune că nodul i este un nod activ. Dacă $e(i) = 0$ atunci i se numește nod echilibrat. Un preflux f care satisfac condiția $e(i) = 0, \forall i \in N - \{1, n\}$ este un flux. Astfel, un flux este un caz particular de preflux.

Rețeaua reziduală în raport cu fluxul (prefluxul) f este $\tilde{G} = (N, \tilde{A}, r)$ cu $\tilde{A} = \{(i, j) | (i, j) \in A, r(i, j) > 0\}$. În rețeaua reziduală $\tilde{G} = (N, \tilde{A}, r)$ definim funcția distanță $d : N \rightarrow \mathbb{N}$. Spunem că funcția distanță este validă dacă satisfac următoarele două condiții :

$$d(n) = 0 \quad (1.8a)$$

$$d(i) \leq d(j) + 1, (i, j) \in \tilde{A} \quad (1.8b)$$

Ne referim la $d(i)$ ca la eticheta distanță a nodului i . Spunem că un arc $(i, j) \in \tilde{A}$ este admisibil dacă satisfac condiția că $d(i) = d(j) + 1$; ne referim la toate celelalte arce ca fiind arce inadmisibile. De asemenea, ne referim la un drum de la nodul 1 la nodul k constând numai din arce admisibile ca la un drum admisibil.

În timp ce problema fluxului admisibil cu margine inferioară zero întotdeauna are o soluție admisibilă (deoarece fluxul zero este admisibil), problema cu margine inferioară pozitivă poate să nu aibă soluții admisibile. Prin urmare, problema fluxului maxim cu margini inferioare pozitive poate fi rezolvată în două faze:

- (F1) această fază determină un flux admisibil dacă există unul;

- (F2) această fază convertește un flux admisibil într-un flux maxim.

Problema din fiecare fază se reduce la rezolvarea unei probleme de flux maxim cu margini inferioare zero. În consecință, este posibilă rezolvarea problemei de flux maxim cu margini inferioare pozitive prin rezolvarea a două probleme de flux maxim, fiecare cu margine inferioară zero.

În urma aplicării unui algoritm pentru flux maxim, la terminarea algoritmului se obțin capacitați reziduale optime din care se poate construi fluxul maxim, astfel:

$$\begin{aligned} f(i, j) &= l(i, j) + \max\{0, u(i, j) - r(i, j) - l(i, j)\} \\ f(j, i) &= l(j, i) + \max\{0, u(j, i) - r(j, i) - l(j, i)\}. \end{aligned}$$

Complexitatea unor algoritmi depinde de $\bar{u} = \max\{u(i, j) | (i, j) \in A\}$.

1.1.3 Fluxul minim

Problema fluxului minim constă în determinarea unui flux f pentru care v este minim.

Pentru problema fluxului minim un preflux f este o funcție $f : A \rightarrow \mathbb{N}$ care satisfac următoarele condiții:

$$f(i, N) - f(N, i) \leq 0, i \in N - \{1, n\} \quad (1.9a)$$

$$l(i, j) \leq f(i, j) \leq u(i, j), (i, j) \in A \quad (1.9b)$$

Pentru un preflux f deficitul fiecărui nod $i \in N$ este

$$e(i) = f(i, N) - f(N, i) \quad (1.10)$$

și dacă $e(i) < 0$, $i \in N - \{1, n\}$ atunci vom spune că nodul i este un nod activ.

Presupunem, fără pierdere generalității, că dacă $(i, j) \in A$ atunci $(j, i) \in A$ (dacă $(j, i) \notin A$ considerăm că $(j, i) \in A$ cu $l(j, i) = u(j, i) = 0$).

Pentru problema fluxului minim, capacitatea $c[X, \bar{X}]$ a tăieturii $1 - n$ este $c[X, \bar{X}] = l(X, \bar{X}) - u(\bar{X}, X)$. Ne referim la o tăietură $1 - n$ a cărei capacitate este maximă de-a lungul tuturor tăieturilor $1 - n$ ca la o tăietură maximă.

Teorema 1.3. *Valoarea fluxului minim de la nodul sursă 1 la nodul stoc n în rețeaua $G = (N, A, l, u)$ este egală cu capacitatea tăieturii maxime $1 - n$.*

În problema fluxului minim, capacitatea reziduală $\hat{r}(i, j)$ pentru orice arc $(i, j) \in A$ cu privire la un flux dat (preflux) f este dată de $\hat{r}(i, j) =$

$u(j, i) - f(j, i) + f(i, j) - l(i, j)$. Rețeaua reziduală este $\hat{G} = (N, \hat{A}, \hat{r})$ cu $\hat{A} = \{(i, j) | (i, j) \in A, \hat{r}(i, j) > 0\}$.

Problema fluxului minim în rețeaua $G = (N, A, l, u)$ poate fi rezolvată în două faze:

- (F1) se determină un flux admisibil dacă există;
- (F2) pornind de la un flux admisibil, se determină un flux minim;

Există trei abordări pentru rezolvarea problemei fluxului minim:

- (a) folosind algoritmi cu drumuri de micșorare a fluxului;
- (b) folosind algoritmi cu prefluxuri;
- (c) folosind algoritmi minmax (algoritmi pentru fluxul maxim aplicați de la nodul n la nodul 1).

Definim în continuare noțiunea de etichetă distanță în rețeaua reziduală $\hat{G}(f) = (\hat{N}, \hat{A})$, unde $\hat{A} = \{(i, j) | (i, j) \in A, \hat{r}(i, j) > 0\}$.

Definiția 1.14. Se numește funcție distanță în rețeaua reziduală $\hat{G}(f) = (\hat{N}, \hat{A})$ relativ la prefluxul f o funcție $\hat{d} : \hat{N} \rightarrow \mathbb{N}$ cu $\hat{N} = N$.

Definiția 1.15. Funcția distanță este validă dacă satisface următoarele condiții:

$$\hat{d}(1) = 0 \quad (1.11a)$$

$$\hat{d}(j) \leq \hat{d}(i) + 1, (i, j) \in \hat{A}, r(i, j) > 0 \quad (1.11b)$$

Valoarea $\hat{d}(i)$ se numește eticheta distanță a nodului i , iar condițiile (1.11a) și (1.11b) se numesc condiții de validitate.

Definiția 1.16. Etichetele distanță se numesc exacte dacă pentru fiecare nod i , $\hat{d}(i)$ este egală cu lungimea celui mai scurt drum de la nodul 1 la nodul i în rețeaua reziduală $\hat{G}(f)$.

Definiția 1.17. Un arc (i, j) din rețeaua reziduală $\hat{G}(f)$ se numește arc admisibil dacă el satisface condiția: $\hat{d}(j) = \hat{d}(i) + 1$, altfel arcul se numește arc inadmisibil.

Definiția 1.18. Un drum de la nodul sursă 1 la nodul stoc n din rețeaua reziduală $\hat{G}(f)$ se numește drum admisibil dacă el conține numai arce admisibile, altfel se numește drum inadmisibil.

Fluxul minim în rețeaua reziduală $\hat{G}(f)$ este determinat de relațiile:

$$f(i, j) = l(i, j) + \max(\hat{r}(i, j) - u(j, i) + l(j, i), 0) \quad (1.12a)$$

$$f(j, i) = l(j, i) + \max(\hat{r}(j, i) - u(i, j) + l(i, j), 0) \quad (1.12b)$$

1.2 Fluxuri în rețele statice speciale

1.2.1 Fluxuri maxime în rețele statice planare

Un digraf $G = (N, A)$ se numește planar dacă poate fi reprezentat în plan astfel încât fiecărui nod să-i corespundă un punct al planului, iar arcelor să le corespundă curbe simple ce unesc punctele corespunzătoare nodurilor și în plus aceste arce să se intersecteze (eventual) numai în noduri. Analog se definește un graf simplu neorientat planar. Arcele (muchiile) unui graf planar determină contururi (frontiere) care mărginesc regiuni numite fețe. Există o singură regiune din plan fără contur numită față nemărginită.

Testarea planarității unui digraf este o problemă rezolvată prin descrierea unor algoritmi în timp liniar, (Hopcroft și Tarjan [53]).

În acest subparagraf ne vom referi la o clasă specială a digrafulor planare cunoscută sub denumirea de digrafuli planare $(1, n)$ (nodul sursă 1 și nodul destinație n se găsesc pe frontieră feței nemărginrite).

Fie $G = (N, A, l = 0, u)$ o rețea statică cu mulțimea nodurilor $N = \{1, \dots, i, \dots, j, \dots, n\}$, mulțimea arcelor $A = \{a_1, \dots, a_k, \dots, a_m\}$, $a_k = (i, j)$, funcția margine inferioară $l : A \rightarrow \mathbb{N}$, $l = 0$ și funcția margine superioară (capacitate) $u : A \rightarrow \mathbb{R}_+$.

Reamintim că un flux în rețeaua statică $G = (N, A, l = 0, u)$ este o funcție $f : A \rightarrow \mathbb{R}_+$ care satisfac următoarele condiții:

$$\sum_j f(i, j) - \sum_k f(k, i) = \begin{cases} v, & \text{if } i = 1 \\ 0, & \text{if } i \neq 1, n \\ -v, & \text{if } i = n \end{cases} \quad (1.13a)$$

$$0 \leq f(i, j) \leq u(i, j), \quad (i, j) \in A \quad (1.13b)$$

pentru orice $v \geq 0$.

Ne vom referi la v ca la valoarea fluxului static f . Problema fluxului maxim constă în determinarea unui flux f care să maximizeze valoarea lui v .

Dacă rețeaua planară $G = (N, A, l = 0, u)$ sau echivalent $G = (N, A, u)$ este conexă și are n noduri, m arce și q fețe, atunci $m < 3n$ și $q = m - n + 2$.

Prezentăm, în continuare problema fluxului în rețeaua planară orientată $(1, n)$. Pentru asta vom defini mai întâi rețeaua orientată duală $G' = (N', A', u')$. Adăugăm în rețeaua G arcul $(n, 1)$ cu $u(n, 1) = 0$ care împarte față nemărginită în două fețe: o față mărginită și o față

nemărginită. În acest caz avem $q' = q + 1$ fețe. Apoi adăugăm un nod i' în interiorul fiecărei fețe x a rețelei G . Fie $1'$ și n' nodurile în rețeaua orientată duală G' corespunzătoare noii fețe mărginită, respectiv noii fețe nemărginită. Fiecare arc $(i, j) \in A$ se află pe frontiera dintre cele două fețe x și y . Corespunzător acestui arc, rețeaua G' conține două arce opuse (i', j') și (j', i') . Dacă arcul (i, j) este în sensul acelor de ceasornic al feței x , definim costul $c'(i', j') = u(i, j)$ și costul $c'(j', i') = 0$. Definim costurile arcelor în mod contrar dacă (i, j) este un arc în sens invers acelor de ceasornic al feței x . Rețeaua duală orientată G' conține arcele $(1', n')$ și $(n', 1')$ care vor fi sterse din rețeaua G' . Multimea $A' = \{(i', j'), (j', i') | i', j' \in N'\}$, (i', j') și (j', i') corespund lui $(i, j) \in A$. Există o corespondență unu la unu între tăietura $1 - n$ în rețeaua G și drumul de la nodul $1'$ la nodul n' în rețeaua G' . Mai mult decât atât capacitatea tăieturii este egală cu costul corespunzător drumului. Prin urmare, putem obține o tăietură $1 - n$ minimă $[X, \bar{X}]$ și $c[X, \bar{X}]$ în rețeaua G prin determinarea celui mai scurt drum P' și $c(P')$ de la nodul $1'$ la nodul n' în rețeaua G' . Putem rezolva problema celui mai scurt drum în rețeaua G' folosind algoritmul Dijkstra, (Ahuja, Magnanti și Orlin [2]).

Prezentăm mai jos algoritmul pentru determinarea fluxului maxim în rețeaua statică planară $G = (N, A, u)$.

Fie $d'(i')$ distanța celui mai scurt drum de la nodul $1'$ la nodul i' în rețeaua orientată duală $G' = (N', A', u')$. Algoritmul pentru fluxul maxim în rețeaua statică planară orientată $(1, n)$ este algoritmul (MFPSN), (Ford și Fulkerson [40], Hassin [51], Itai și Shiloach [54]):

Algoritmul 1: Algoritmul pentru determinarea fluxului maxim în rețeaua statică planară orientată $(1, n)$

```

MFPSN;
1 BEGIN
2   construiește rețeaua  $G'$ ;
3   DIJKSTRA  $(G', d')$ ;
4   for  $(i, j) \in A$  do
5      $f(i, j) := d'(j') - d'(i');$ 
6 END;
```

Teorema 1.4. *Algoritmul MFPSN determină un flux maxim în rețeaua G .*

Teorema 1.5. *Complexitatea algoritmului MFPSN este $O(n^2)$.*

Utilizând algoritmul Frederickson ([41]), procedura MFPSN determină un flux maxim în timp $O(n^{1.5})$.

Reamintim că problema fluxului maxim într-o rețea generală cu mai multe noduri sursă și mai multe noduri stoc este echivalentă cu

problema fluxului maxim într-o rețea extinsă cu un singur nod sursă și un singur nod stoc. Pentru rețelele planare această extindere poate distruge planaritatea rețelei. De aceea este necesară o altă metodă. Fie $N = N_1 \cup N_2 \cup N_3$ cu N_1 mulțimea nodurilor sursă, N_2 mulțimea nodurilor tranzit și N_3 mulțimea nodurilor stoc.

În continuare prezentăm algoritmul pentru determinarea fluxului maxim în rețele statice planare orientate cu toate nodurile sursă și toate nodurile stoc situate pe față exterioară, (Miller și Naor [62]).

Algoritm 2: Algoritmul pentru determinarea fluxului maxim în rețele statice planare orientate cu toate nodurile sursă și toate nodurile stoc situate pe față exterioară.

```

MFDPSNSSOF;
1 BEGIN
2   DIV( $N_1, N_3, X, Y$ );
3   MFXY( $G, X, Y, f_1^*, \tilde{G}_1$ );
4   MFC( $\tilde{G}_1, \tilde{C}, f_2^*$ );
5   MFG( $f_2^*, \tilde{G}_2, f_3^*, f_0^*$ );
6 END.

```

Din lucrarea Miller și Naor [62] prezentăm următoarele două teoreme.

Teorema 1.6. *Algoritmul MFDPSNSSOF calculează în mod corect un flux maxim.*

Teorema 1.7. *Timpul de funcționare al algoritmului MFDPSNSSOF este $O(n \log^{1.5} n)$.*

1.2.2 Fluxuri minime în rețelele statice planare

În continuare considerăm că rețeaua $G = (N, A, l, u)$ este o rețea $(1, n)$ planară orientată.

Rețeaua $G' = (N', A', l', u')$ este rețeaua duală a rețelei $(1, n)$ planare $G = (N, A, l, u)$ unde $N' = \{1', \dots, i', \dots, n'\}$, $A' = \{(i', j'), (j', i') | i', j' \in N\}$, (i', j') și (j', i') corespund lui $(i, j) \in A$, cu $n' = |N'| = m - n + 3$ și $m' = |A'| = 2m$.

Dacă arcul (i, j) este în sensul acelor de ceasornic în față x , definim $l'(i', j') = l(i, j)$ și $u'(j', i') = -u(i, j)$. Definim l' și u' în mod contrar dacă (i, j) este un arc în sens invers arcelor de ceasornic al feței x , (Ciurea și Georgescu [25]).

Algoritmul pentru fluxul minim $\overset{\circ}{f}$ în rețeaua statică planară $(1, n)$ $G = (N, A, l, u)$ este prezentat mai jos.

Algoritmul 3: Algoritmul pentru determinarea fluxului minim în rețeaua statică planară $(1, n)$ $G = (N, A, l, u)$.

```
mFPSN;  
1 BEGIN  
2   BELLMAN-FORD ( $G'$ ,  $d'$ );  
3   for  $(i, j) \in A$  do  
4      $\hat{f}(i, j) := d'(j') - d'(i')$ ;  
5 END.
```

Din lucrarea Ciurea și Georgescu [25] prezentăm următoarele două teoreme:

Teorema 1.8. *Dacă fluxul \hat{f} determinat cu algoritmul mFPSN satisface condițiile $f(i, j) \leq u(i, j)$ pentru toate arcele $(i, j) \in A$, atunci fluxul \hat{f} este fluxul minim admisibil.*

Teorema 1.9. *Algoritmul mFPSN are complexitatea $O(n^2)$.*

Remarcăm faptul că dacă fluxul minim \hat{f} obținut cu algoritmul mFPSN este inadmisibil ($u(i, j) < f(i, j)$ pentru unul sau mai multe arce $(i, j) \in A$), atunci nu există flux admisibil în rețeaua G .

1.2.3 Fluxuri maxime în rețele statice bipartite

Rețelele statice bipartite apar în contexte practice cum ar fi: problema eliminării în competițiile de baseball, testarea fiabilității rețelei, și prin urmare, este interesant să găsim algoritmi eficienți pentru această clasă de probleme.

Definiția 1.19. *Spunem că digraful $G = (N, A)$ este digraf bipartit dacă mulțimea nodurilor N admite o partiziune în două submulțimi N_1 și N_2 astfel încât pentru fiecare arc $(i, j) \in A$ avem fie $i \in N_1$ și $j \in N_2$, fie $i \in N_2$ și $j \in N_1$, unde $N_1 \neq \emptyset$, $N_2 \neq \emptyset$, $N_1 \cap N_2 = \emptyset$, $N_1 \cup N_2 = N$.*

Notăm cu $G = (N_1 \cup N_2, A, l, u)$ rețeaua bipartită. Fie $n_1 = |N_1|$ și $n_2 = |N_2|$. Deducem că $|N| = n_1 + n_2$.

Una dintre problemele care se pune este dacă un graf dat este sau nu un graf bipartit. Din fericire există multe metode simple pentru rezolvarea acestei probleme. Una dintre acestea are la bază următoarea proprietate ce caracterizează rețelele bipartite, (Jungnickel [56]).

Proprietatea 1. *Un graf G este graf bipartit dacă și numai dacă fiecare ciclu în G conține un număr par de arce.*

Prin îmbunătățirea complexității algoritmilor Dinic [36] și Karzanov, Naor [57], Gusfield, Martel și Fernandez-Baca [49] au descris algoritmi pentru flux maxim pe rețele bipartite. Ahuja, Orlin, Stein și Tarjan [1] au adus îmbunătățiri importante și au demonstrat că este posibil să se obțină o nouă limită de timp pentru rețelele bipartite. În lucrarea

[49] Gusfield, Martel și Fernandez-Baca descriu probleme care pot fi rezolvate cu ajutorul rețelelor cu flux în grafuri bipartite.

Fără nicio pierdere de generalitate, presupunem că $n_1 \leq n_2$. De asemenea, presupunem că nodul sursă 1 aparține multșimii N_2 (dacă nodul sursă 1 aparține multșimii N_1 , atunci putem crea un nou nod sursă $1' \in N_2$, și putem adăuga un arc $(1', 1)$ cu $l(1', 1) = 0$, $u(1', 1) = \infty$). O rețea bipartită se numește neechilibrată dacă $n_1 << n_2$ și echilibrată în caz contrar.

Ahuja, Orlin, Stein și Tarjan [1] au obținut timpi de execuție îmbunătățiți prin modificarea algoritmilor. Această modificare se aplică numai pentru algoritmii de întărire a prefluxului și se numește regula de întărire pe două arce. În concordanță cu această regulă, întotdeauna se întărează fluxul de la un nod în N_1 pe două arce la un alt nod din N_1 , într-o etapă numită *bi-întărire*, astfel încât să nu se acumuleaze excese la noduri în N_2 .

Versiunea modificată a algoritmului preflux FIFO pentru determinarea fluxului maxim în rețea bipartită este numit Algoritmul preflux FIFO bipartit. O bi-întărire este o întărire peste două arce admisibile consecutive. El mută excesul dintr-un nod $i \in N_1$ în alt nod $k \in N_1$. Prin această abordare algoritmul mută fluxul de-a lungul drumului $\tilde{D} = (i, j, k), j \in N_2$, și asigură faptul că niciun nod din N_2 nu a avut vreodată un exces. O întărire a α unități de la nodul i la nodul j scade atât $e(i)$, cât și $r_0(i, j)$ cu α unități și crește $e(j)$ și $r_0(j, i)$ cu α unități (Ahuja, Orlin, Stein și Tarjan [1]). Precizăm faptul că pentru $l = 0$ și $f = 0$ obținem $r = u$.

În lucrarea [1] Ahuja, Orlin, Stein și Tarjan prezintă algoritmul preflux FIFO (BFIFOP) redat, în detaliu, mai jos.

Algoritm 4: Algoritmul preflux FIFO bipartit (BFIFOP) pentru fluxul maxim

```

BFIFOP;
1 BEGIN
2   INITIALIZARE;
3   while  $Q \neq \emptyset$  do
4     BEGIN
5       selectează nodul  $i$  de la începutul listei  $Q$ ;
6       BIÎNAINȚARE/REETICHETARE( $i$ );
7     END;
8   END.

```

```

PROCEDURA INITIALIZARE;
1 BEGIN
2    $f := 0$ ;  $Q := \emptyset$ ; se construiește rețea reziduală  $\tilde{G}$ ;

```

-
-
- 3 se înaintează $u(1, j)$ unități de flux pe fiecare arc $(1, j) \in A$ și se adaugă nodul j la sfârșitul listei Q dacă $e(j) > 0$ și $j \neq n$;
 - 4 se calculează etichetele distanță exacte $d(i)$ de la nodul n la nodul i în rețeaua reziduală; $d(1) = 2n_1 + 1$;
 - 5 END.

```

PROCEDURA BIÎNAINTARE/REETICHETARE( $i$ );
1 BEGIN
2   if există un arc admisibil  $(i, j)$ 
3     BEGIN
4       selectează un arc admisibil  $(i, j)$ ;
5       if există un arc admisibil  $(j, k)$ 
6         BEGIN
7           selectează arcul admisibil  $(j, k)$ ;
8           înaintează  $\alpha := \min\{e(i), r(i, j), r(j, k)\}$  unități de flux de-a
9             lungul drumului  $(i, j, k)$  și adaugă nodul  $k$  la lista  $Q$ 
10            dacă  $k \notin Q$  și  $k \neq n$ ;
11          END
12        else  $d(j) := \min\{d(k) + 1 | (j, k) \in A, r(j, k) > 0\}$ ;
13      END
14    END;

```

Teorema 1.10. *Algoritmul preflux BFIFOP determină un flux maxim în rețeaua $G = (N_1 \cup N_2, A, u)$.*

Teorema 1.11. *Algoritmul preflux BFIFOP are complexitatea $n_1^2 n$.*

Mai multe informații se găsesc în lucrarea Ahuja, Orlin, Stein și Tarjan [1]. Precizăm faptul că acest algoritm se execută pe rețeaua G cu $l = 0$, un singur nod sursă 1 și un singur nod stoc n .

1.2.4 Fluxuri minime în rețele statice bipartite

Pentru problema fluxului minim, fără nicio pierdere de generalitate, presupunem că $n_2 \leq n_1$. De asemenea, presupunem că nodul sursă 1 aparține lui N_2 (dacă nodul sursă 1 aparține lui N_1 , atunci putem crea un nou nod sursă $1' \in N_2$, și putem adăuga un arc $(1', 1)$ cu $l(1', 1) = 0$, $u(1', 1) = \infty$). Pentru problema fluxului minim o rețea bipartită se numește neechilibrată dacă $n_2 \ll n_1$ și echilibrată în caz contrar.

Definitia 1.20. *Se numește bi-înapoiere cu $i, k \in N_2$ și $j \in N_1$, o înapoiere cu p unități de flux pe drumul (i, j, k) în rețeaua bipartită.*

Autorii lucrării [28], Ciurea, Georgescu și Marinescu, obțin îmbunătățiri ale timpilor de execuție prin modificarea algoritmilor. Această modificare se aplică numai pentru algoritmul FIFO de înapoiere a fluxului și se numește regula de înapoiere pe două arce. Deoarece se înapoiază întotdeauna fluxul pe drumul (i, j, k) cu $i, k \in N_2$

și $j \in N_1$ rezultă că niciun deficit nu se acumulează la noduri din N_1 .

Algoritmul 5: Algoritmul preflux FIFO bipartit (BFIFOPP) pentru fluxul minim

```

BFIFOPP;
1 BEGIN
2   INITIALIZARE;
3   while  $Q \neq \emptyset$  do
4     BEGIN
5       selectează nodul  $k$  de la începutul listei  $Q$ ;
6       BIÎNAPOIERE/REETICHETARE( $k$ );
7     END;
8   END.
PROCEDURA INITIALIZARE;
1 BEGIN
2   fie  $f$  un flux admisibil în  $G$ ;  $Q := \emptyset$ ; se construiește rețeaua reziduală  $\hat{G}$ ;
3   se calculează etichetele distanță exacte  $\hat{d}(i)$  de la 1 la  $i$  în  $\hat{G}$ ;
4    $\hat{d}(n) = 2n_2 + 1$ ;
5   se retrag  $\hat{r}(i, n)$  de flux pe arcele  $((i, n) \in \tilde{A})$  și se adaugă  $i$  la sfârșitul
      listei  $Q$  dacă  $e(i) < 0$  și  $i \neq 1$ ;
6   END.

PROCEDURA BIÎNAPOIERE/REETICHETARE( $k$ );
1 BEGIN
2   if există un arc admisibil  $(j, k)$ 
3     BEGIN
4       selectează un arc admisibil  $(j, k)$ ;
5       if există un arc admisibil  $(i, j)$ 
6         BEGIN
7           selectează un arc admisibil  $(i, j)$ ;
8           înapoiază  $\alpha := \min\{-e(k), r(j, k), r(i, j)\}$  unități de flux de-a
              lungul drumului  $(i, j, k)$  și adaugă nodul  $i$  la începutul listei  $Q$ 
              dacă  $i \notin Q$  și  $i \neq 1$ ;
9         END
10        else  $d(j) := \min\{d(i) + 1 | (i, j) \in A, r(i, j) > 0\}$ ;
11      END
12    else  $d(k) := \min\{d(j) + 1 | (j, k) \in A, r(j, k) > 0\}$ ;
13  END;

```

Teorema 1.12. *Algoritmul preflux BFIFOPP determină un flux minim în rețeaua $G = (N_1 \cup N_2, A, u)$.*

Teorema 1.13. *Algoritmul preflux BFIFOPP are complexitatea n_2^2n .*

1.3 Fluxuri în rețele dinamice oarecare

1.3.1 Fluxul maxim în rețele dinamice oarecare

Definitia 1.21. O rețea $D = (N, A, h, e, q, H)$ cu N mulțimea nodurilor, A mulțimea arcelor, h funcția timp $h : A \times H \rightarrow \mathbb{N}$, e funcția margine inferioară $e : A \times H \rightarrow \mathbb{N}$, q funcția margine superioară (capacitate) $q : A \times H \rightarrow \mathbb{N}$ și H mulțimea perioadelor de timp

$H = \{0, 1, \dots, T\}$ se numește rețea dinamică.

Definiția 1.22. O rețea $D = (N, A, h, e, q, H)$ este numită rețea dinamică staționară dacă funcțiile h, e, q ale tuturor arcelor $(i, j) \in A$ sunt independente de timp $h(i, j; \theta) = h(i, j)$, $e(i, j; \theta) = e(i, j)$ și $q(i, j; \theta) = q(i, j) \forall (i, j) \in A$ și $\forall \theta \in \{0, 1, \dots, T\}$.

Modelele de rețele dinamice apar în multe probleme incluzând sistemele de producție - distribuție, planificare economică, sistemele energetice, problema de transport și problema evacuării clădirilor.

Literatura de specialitate tratează problema fluxului maxim numai în rețele dinamice $D = (N, A, h, e = 0, q, H)$.

Fie $D = (N, A, h, q, H)$ o rețea dinamică cu $e = 0$, mulțimea nodurilor $N = \{1, \dots, n\}$, mulțimea arcelor $A = \{a_1, \dots, a_m\}$, 1 nodul sursă și n nodul stoc. Parametrul $h(i, j; t)$ este timpul de tranzit necesar pentru a traversa un arc (i, j) . Parametrul $q(i, j; t)$ reprezintă cantitatea maximă a fluxului care poate traversa de-a lungul arcului (i, j) când fluxul pleacă de la nodul i la momentul t și sosete la nodul j la momentul $\theta = t + h(i, j; t)$.

Problema fluxului dinamic maxim pentru T perioade de timp constă în determinarea funcției $g : A \times H \rightarrow \mathbb{N}$, care satisfac următoarele condiții în rețea dinamică $D = (N, A, h, e = 0, q, H)$:

$$\sum_{t=0}^T (g(1, N; t) - \sum_{\tau} g(N, 1; \tau)) = w \quad (1.14a)$$

$$g(i, N; t) - \sum_{\tau} g(N, i; \tau) = 0, i \neq 1, n, t \in H \quad (1.14b)$$

$$\sum_{t=0}^T (g(n, N; t) - \sum_{\tau} g(N, n; \tau)) = -w \quad (1.14c)$$

$$0 \leq g(i, j; t) \leq q(i, j; t), \quad (i, j) \in A, \quad t \in H \quad (1.15)$$

$$\max w, \quad (1.16)$$

unde $\tau = t - h(k, i; t)$, $w = \sum_{t=0}^T v(t)$, $v(t)$ este valoarea fluxului la momentul t și $g(i, j; t) = 0$ pentru toți $t \in \{T - h(i, j; t) + 1, \dots, T\}$.

Problema găsirii fluxului maxim în rețea dinamică $D = (N, A, h, e = 0, q, H)$ este mult mai complexă decât problema găsirii fluxului maxim în rețea statică $G = (N, A, u)$. Din fericire, această situație a fost rezolvată prin reformularea problemei din rețea dinamică D într-o problemă în rețea statică $R = (V, E, u)$ numită rețea statică expandată (Ahuja, Magnanti și Orlin [2], Ford și Fulkerson [39]).

Rețeaua statică expandată a rețelei dinamice $D = (N, A, h, e = 0, q, H)$ este o rețea $R = (V, E, u)$ cu $V = \{i_t | i \in N, t \in H\}$, $E = \{(i_t, j_\theta) | (i, j) \in A, t \in \{0, 1, \dots, T - h(i, j; t)\}, \theta = t + h(i, j; t), \theta \in H\}$, $u(i_t, j_\theta) = q(i, j; t)$, $(i_t, j_\theta) \in E$. Numărul de noduri în rețeaua statică expandată R este $n(T + 1)$ și numărul de arce este limitat de $m(T + 1) - \sum_A \hat{h}(i, j)$, unde $\hat{h}(i, j) = \min\{h(i, j; 0), \dots, h(i, j; T)\}$.

Este ușor de observat că orice flux în rețeaua dinamică D de la nodul sursă 1 la nodul destinație n este echivalent cu un flux în rețeaua statică expandată R de la nodurile sursă $1_0, 1_1, \dots, 1_T$ la nodurile stoc n_0, n_1, \dots, n_T și vice-versa. Putem reduce, în continuare, problema surselor multiple și a stocurilor multiple în rețeaua statică expandată R la un singur nod sursă și un singur nod stoc prin introducerea unui supernod sursă 0 și a unui supernod stoc $n + 1$ construind rețeaua statică super-expandată $R_2 = (V_2, E_2, u_2)$, unde $V_2 = V \cup \{0, n + 1\}$, $E_2 = E \cup \{(0, 1_t) | t \in H\} \cup \{(n_t, n + 1) | t \in H\}$, $u_2(i_t, j_\theta) = u(i_t, j_\theta)$, $(i_t, j_\theta) \in E$, $u_2(0, 1_t) = u_2(n_t, n + 1) = \infty$, $t \in H$.

Acum, vom construi rețeaua statică expandată redusă $R_1 = (V_1, E_1, u_1)$ după cum urmează: definim funcția $h_2 : E_2 \rightarrow \mathbb{N}$, cu $h_2(0, 1_t) = h_2(n_t, n + 1) = 0$, $t \in H$, $h_2(i_t, j_\theta) = h(i, j; t)$, $(i_t, j_\theta) \in E$. Fie $d_2(0, i_t)$ lungimea celui mai scurt drum de la nodul sursă 0 la nodul i_t , și $d_2(i_t, n + 1)$ lungimea celui mai scurt drum de la nodul i_t la nodul stoc $n + 1$, referitor la h_2 în rețeaua R_2 . Lungimile $d_2(0, i_t)$ și $d_2(i_t, n + 1)$ pentru toți $i_t \in V$ se calculează cu un algoritm al celui mai scurt drum. Rețeaua $R_1 = (V_1, E_1, u_1)$ are $V_1 = \{0, n + 1\} \cup \{i_t | i_t \in V, d_2(0, i_t) + d_2(i_t, n + 1) \leq T\}$, $E_1 = \{(0, 1_t) | d_2(1_t, n + 1) \leq T, t \in H\} \cup \{(i_t, j_\theta) | (i_t, j_\theta) \in E, d_2(0, i_t) + h_2(i_t, j_\theta) + d_2(j_\theta, n + 1) \leq T\} \cup \{(n_t, n + 1) | d_2(0, n_t) \leq T, t \in H\}$ și u_1 este restricția lui u_2 la E_1 .

Remarcăm faptul că rețeaua statică expandată redusă R_1 este întotdeauna o subrețea parțială a super rețelei statice expandate R_2 . Un flux dinamic pentru T perioade în rețeaua dinamică D este echivalent cu un flux în rețeaua statică expandată redusă R_1 . Este ușor de observat că rețelele statice R, R_2, R_1 nu pot conține niciun circuit, și, prin urmare, sunt aciclice.

În cazul general, parametrul $h(i) = 1$ este timpul de așteptare în nodul i , iar parametrul $q(i; t)$ este funcția margine superioară pentru fluxul $g(i; t)$ care poate aștepta la nodul i de la momentul t la $t + 1$.

Problema fluxului maxim pentru T perioade de timp în rețeaua dinamică D formulată în condițiile (1.14), (1.15) și (1.16) este echivalentă cu problema fluxului maxim în rețeaua statică expandată redusă R_1 după cum urmează:

$$\sum_{j_\theta} f_1(i_t, j_\theta) - \sum_{k_\tau} f_1(k_\tau, i_t) = \begin{cases} v_1(i_t), & \text{if } i_t = 1_t \\ 0, & \text{if } i_t \neq 1_t, n_t \\ -v_1(i_t), & \text{if } i_t = n_t \end{cases} \quad (1.17a)$$

$$0 \leq f_1(i_t, j_\theta) \leq u_1(i_t, j_\theta), \quad (i_t, j_\theta) \in E_0 \quad (1.17b)$$

$$\max v_1, \quad (1.17c)$$

cu $v_1 = \sum_t v_1(1_t)$.

În cazul $h(i, j; t) = h(i, j)$, $t \in H$ distanțele dinamice $d(1, i; t), d(i, n; t)$ devin distanțe statice $d(1, i), d(i, n)$.

Există două abordări referitor la determinarea unui flux maxim în rețeaua dinamică $D = (N, A, h, e = 0, q, H)$: abordarea statică și abordarea dinamică. Abordarea statică constă în determinarea unui flux maxim în rețeaua statică expandată redusă $R_1 = (V_1, E_1, u_1)$. Abordarea dinamică este utilizată în cazul staționar. Nu este necesară construirea rețelei statice expandate reduse pentru rezolvarea problemei fluxului dinamic maxim pentru orice T . Fluxul dinamic maxim în cazul staționar poate fi generat din fluxul f de valoare maximă și timp minim în rețeaua statică $D = (N, A, h, e = 0, q, H)$, unde $h(i, j)$ este costul (timpul) pentru orice arc $(i, j) \in A$.

Algoritmul pentru problema fluxului dinamic maxim în cazul staționar (SMDF) este prezentat mai jos.

Algoritmul 6: Algoritmul pentru determinarea fluxului dinamic maxim în cazul staționar (SMDF)

```

SMDF;
1 BEGIN
2   MVMCF ( $D, f$ );
3   DFEF ( $f, r(P_1), \dots, r(P_k)$ );
4   RF ( $r(P_1), \dots, r(P_k)$ );
5 END.

```

Fluxul obținut cu algoritmul SMDF se numește flux repetat temporal pentru motivul evident că acesta constă în expedieri repetitive de-a lungul acelaiași drum de la nodul 1 la nodul n . Valoarea fluxului maxim pentru fluxul repetat temporal obținut cu algoritmul SMDF este:

$$v_H = (T + 1)v - \sum_A h(i, j)f(i, j) \quad (1.18)$$

unde v este valoarea maximă a fluxului obținut cu MVMCF.

Teorema 1.14. *Algoritmul SMDF calculează corect fluxul dinamic maxim în rețeaua $D = (N, A, h, e = 0, q, H)$.*

Teorema 1.15. *Algoritmul SMDF are complexitatea $O(n^2 m^3 \log n)$.*

Definitia 1.23. Fiind dat un flux admisibil g în rețeaua dinamică $D = (N, A, h, e, q, H)$, rețeaua reziduală dinamică în raport cu fluxul g este definită ca $D(g) = (N, A(g))$, cu:

$$A(g) = A^+(g) \cup A^-(g)$$

unde

$$A^+(g) = \{(i, j) | (i, j) \in A, \exists t \leq T - h(i, j; t) \text{ cu } q(i, j; t) - g(i, j; t) > 0\} \quad (1.19a)$$

$$A^-(g) = \{(j, i) | (j, i) \in A, \exists t \leq T - h(j, i; t) \text{ cu } g(j, i; t) - e(j, i; t) > 0\} \quad (1.19b)$$

Oricare arc (i, j) al rețelei reziduale dinamice $D(g)$ care aparține mulțimii arcelor directe $(i, j) \in A^+(g)$ are același timp de traversare $h(i, j; t)$ ca și arcul corespunzător din rețeaua dinamică originară G . Oricare arc (i, j) al rețelei reziduale dinamice $D(g)$ care aparține mulțimii arcelor artificiale inverse $(i, j) \in A^-(g)$ are următoarea caracteristică:

$$\begin{aligned} h(i, j; t) + h(j, i; t) &= -h(j, i; t), (j, i) \in A, 0 \leq t + h(j, i; t) \leq T, \\ g(j, i; t) &> 0 \end{aligned} \quad (1.20)$$

Definitia 1.24. Capacitatea reziduală a unui arc (i, j) din rețeaua reziduală dinamică $D(g)$ este definită astfel:

$$r(i, j; t) = u(i, j; t) - f(i, j; t), (i, j) \in A, 0 \leq t + h(i, j; t) \leq T \quad (1.21a)$$

$$r(i, j; t + h(j, i; t)) = f(j, i; t) - e(j, i; t), (j, i) \in A, 0 \leq t + h(j, i; t) \leq T \quad (1.21b)$$

Definitia 1.25. Un drum $P((i_1; t), (i_{K+1}; t+h(P; t))) = ((i_1; t), (i_2; t+h(i_1, i_2; t)), \dots, (i_{K+1}; t+h(P; t)))$ de la perechea nod-timp $(i_1; t)$ la perechea nod-timp $(i_{K+1}; t+h(P; t))$ în rețeaua reziduală dinamică $D(g)$ este numit drum dinamic de mărire a fluxului dacă $r(i_k, i_{k+1}; t_k) > 0$ cu $t_1 = t$ și $t_{k+1} = t_k + h(i_k, i_{k+1}; t_k)$, $k = 1, \dots, K$.

Definitia 1.26. Fiind dat un flux admisibil f în rețeaua dinamică $D = (N, A, h, e = 0, q, H)$, capacitatea reziduală a unui drum dinamic de mărire a fluxului $P((i_1; t), (i_{K+1}; t+h(P; t)))$ este definită ca:

$$r(P; t) = \min_{l \leq k \leq K} \{r(i_k, i_{k+1}); t_k) | t_1 = t, t_{k+1} = t_k + h(i_k, i_{k+1}; t_k)\} \quad (1.22)$$

Un drum dinamic $P((i_1; t), (i_{K+1}; t + h(P; t))) = ((i_1; t), (i_2; t + h(i_1, i_2; t)), \dots, (i_{K+1}; t + h(P; t)))$ de mărire a fluxului este un circuit dinamic dacă $i_{K+1} = i_1$ și $h(P; t) = 0$. Pentru detalii invităm cititorul să consulte lucrarea [8].

1.3.2 Fluxul minim în rețele dinamice oarecare

În lucrarea [18] se tratează o problemă specială a fluxului minim într-o rețea dinamică oarecare.

Problema fluxului dinamic minim pentru T perioade de timp constă în determinarea funcției $g : A \times H \rightarrow \mathbb{N}$, care satisfac următoarele condiții în rețeaua dinamică $D = (N, A, h, e, q)$:

$$\sum_{t=0}^T (g(1, N; t) - \sum_{\tau} g(N, 1; \tau)) = \bar{w} \quad (1.23a)$$

$$g(i, N; t) - \sum_{\tau} g(N, i; \tau) = 0, \quad i \neq 1, n, \quad t \in H \quad (1.23b)$$

$$\sum_{t=0}^T (g(n, N; t) - \sum_{\tau} g(N, n; \tau)) = -\bar{w} \quad (1.23c)$$

$$e(i, j; t) \leq g(i, j; t) \leq q(i, j; t), \quad (i, j) \in A, \quad t \in H \quad (1.24)$$

$$\min \bar{w}, \quad (1.25)$$

unde $\tau = t - h(k, i; t)$, $\bar{w} = \sum_{t=0}^T v(t)$, $v(t)$ este valoarea fluxului la momentul t și $g(i, j; t) = 0$ pentru toți $t \in \{T - h(i, j; t) + 1, \dots, T\}$.

În acest subparagraf considerăm că problema este staționară.

$$h(i, j; t) = h(i, j), \quad e(i, j; t) = e(i, j), \quad q(i, j; t) = \infty, \quad (i, j) \in A, \quad t \in H \quad (1.26)$$

Remarcăm faptul că fluxul repetat temporal poate să nu fie optim pentru problema fluxului dinamic minim. Pentru mai multe detalii invităm cititorul să consulte lucrarea [18].

2. Fluxuri în rețele dinamice planare

2.1 Fluxuri în rețele dinamice planare. Abordarea statică.

2.1.1 Construcția rețelei statice expandate reduse cu drumuri dinamice

Această construcție aparține autoarei acestei teze și este conținută în lucrarea [68].

Fie rețeaua dinamică $D = (N, A, h, e, q, H)$.

Problema fluxului dinamic maxim pentru T perioade de timp constă în determinarea funcției flux $g : A \times H \rightarrow \mathbb{N}$, care trebuie să satisfacă următoarele condiții:

$$\sum_{t=0}^T \left(\sum_j g(1, j; t) - \sum_k \sum_\tau g(k, 1; \tau) \right) = w \quad (2.1a)$$

$$\sum_j g(i, j; t) - \sum_k \sum_\tau g(k, i; \tau) = 0, \quad i \neq 1, n, \quad t \in H \quad (2.1b)$$

$$\sum_{t=0}^T \left(\sum_j g(n, j; t) - \sum_k \sum_\tau g(k, n; \tau) \right) = -w \quad (2.1c)$$

$$e(i, j; t) \leq g(i, j; t) \leq q(i, j; t), \quad (i, j) \in A, \quad t \in H \quad (2.2)$$

$$\max w, \quad (2.3)$$

unde $\tau = t - h(k, i; t)$, $w = \sum_{t=0}^T v(t)$, $v(t)$ este valoarea fluxului la momentul t și $g(i, j; t) = 0$ pentru toate momentele $t \in \{T - h(i, j; t) + 1, \dots, T\}$.

Vom construi, rețeaua statică expandată redusă $R_1 = (V_1, E_1, l_1, u_1)$ utilizând noțiunea de cel mai scurt drum dinamic. Problema celui mai scurt drum dinamic este prezentată de Cai, Sha și Wong [8]. Fie $d(1, i; t)$ lungimea celui mai scurt drum dinamic la momentul t de la nodul sursă 1 la nodul i și $d(i, n; t)$ lungimea celui mai scurt drum la momentul t de la nodul i la nodul stoc n , referitor la h în rețeaua dinamică D . Vom considera $H_i = \{t | t \in H, d(1, i; t) \leq t \leq T - d(i, n; t)\}$, $i \in N$, și $H_{i,j} = \{t | t \in H, d(1, i; t) \leq t \leq T - h(i, j; t) - d(j, n; \theta)\}$, $(i, j) \in A$. Rețeaua statică redusă cu surse

multiple și stocuri multiple $R_0 = (V_0, E_0, l_0, u_0)$ are $V_0 = \{i_t | i \in N, t \in H_i\}$, $E_0 = \{(i_t, j_\theta) | (i, j) \in A, t \in H_{i,j}\}$, $l_0(i_t, j_\theta) = e(i, j; t)$, $u_0(i_t, j_\theta) = q(i, j; t)$, $(i_t, j_\theta) \in E_0$. Rețeaua statică expandată redusă $R_1 = (V_1, E_1, l_1, u_1)$ este construită din rețeaua R_0 după cum urmează: $V_1 = V_0 \cup \{0, n+1\}$, $E_1 = E_0 \cup \{(0, 1_t) | 1_t \in V_0\} \cup \{(n_t, n+1) | n_t \in V_0\}$, $l_1(0, 1_t) = l_1(n_t, n+1) = 0$, $u_1(0, 1_t) = u_1(n_t, n+1) = \infty$, $1_t, n_t \in V_0$ și $l_1(i_t, j_\theta) = l_0(i_t, j_\theta)$ și $u_1(i_t, j_\theta) = u_0(i_t, j_\theta)$, $(i_t, j_\theta) \in E_0$.

2.1.2 Fluxul maxim în rețele dinamice planare cu margine inferioară zero

Rezultatele din acest subparagraf aparțin autoarei acestei lucrări și sunt conținute în lucrarea [69], trimisă spre publicare.

Vom considera, în această secțiune că rețeaua dinamică $D = (N, A, h, e = 0, q, H)$ este $(1, n)$ planară. Vom construi rețeaua expandată redusă cu multiple noduri sursă și multiple noduri stoc $R_0 = (V_0, E_0, u_0)$ conform descrierilor din subcapitolul 2.1.1.

Teorema 2.1. *Rețeaua expandată redusă statică cu multiple noduri sursă și multiple noduri stoc $R_0 = (V_0, E_0, u_0)$ este o rețea planară statică.*

Observăm că R_0 este, de asemenea, o rețea planară statică cu multiple noduri sursă și multiple noduri stoc când toate nodurile sursă și toate nodurile stoc se găsesc pe aceeași frontieră a unei singure fețe sau cu multiple noduri sursă și multimpule noduri stoc când nodurile sursă și nodurile stoc se află pe frontieră unor fețe diferite. În continuare vom considera primul caz, și anume cazul în care toate nodurile sursă și toate nodurile stoc se găsesc pe aceeași frontieră a unei singure fețe (față exterioară).

Prezentăm mai jos algoritmul pentru determinarea fluxului maxim în rețele planare orientate cu multiple noduri sursă și multiple noduri stoc situate pe aceeași față (față exterioară).

Algoritm 7: Algoritmul pentru determinarea fluxului maxim în rețele dinamice planare cu multiple noduri sursă și multiple noduri stoc situate pe față exterioară.

```

MFPDN;
1 BEGIN
2   CONS(D, R0);
3   MFDPSNSSOF(R0, f*);
4 END.

```

În continuare prezentăm corectitudinea și complexitatea algoritmului MFPDN.

Teorema 2.2. *Algoritmul MFPDN calculează în mod corect fluxul maxim în rețeaua dinamică planară orientată D.*

Teorema 2.3. *Algoritmul MFPDN are complexitatea $O(nT \log^{1.5} nT)$*

Rezolvarea problemei fluxului maxim cu $e > 0$ și a problemei fluxului minim prin abordarea statică constituie o temă de cercetare viitoare.

2.2 Fluxuri în rețele dinamice planare. Abordarea dinamică.

2.2.1 Fluxul maxim cu margine inferioară zero

Rezultatele din acest subparagraf aparțin partțial autoarei acestei lucrări și sunt prezentate în articolul [71] publicat în numărul 11(2) din 2016 al revistei International Journal of Computers Communications & Control.

În acest subparagraf considerăm rețeaua dinamică $D = (N, A, h, e = 0, q, H)$ în cazul staționar. În acest caz folosim algoritmul SMDF prezentat în paragraful 1.3.

Reamintim că un ciclu (circuit) $\overset{\circ}{P}$ de cost mediu este $\sum(c(i, j)|(i, j) \in \overset{\circ}{P}) / |\overset{\circ}{P}|$, și că ciclul mediu minim este ciclu cu cel mai mic cost mediu în rețeaua D ([2] etc.). Dacă se utilizează algoritmul programării dinamice, atunci algoritmul pentru determinarea ciclului mediu minim are complexitatea $O(nm)$ [2]. De asemenea, reamintim că algoritmul de eliminare a ciclului mediu minim este o variantă îmbunătățită a algoritmului lui Klein de eliminare a circuitelor de cost negativ. Algoritmul eliminării ciclului mediu minim ca și algoritmul Klein pornește cu un flux maxim. Pentru informații suplimentare privind acești algoritmi, cititorul poate consulta lucrarea [2].

În cazul când rețeaua D este planară, un flux maxim se determină cu algoritmul MFPSN prezentat în paragraful 1.2.1. Pentru generarea unui flux dinamic maxim staționar în rețeaua planară D se utilizează algoritmul SMDF prezentat în paragraful 1.3.1. Acest nou algoritm (SMDF modificat) îl denumim SMPDF (determină fluxul maxim cu MFPSN).

În continuare prezentăm teorema de corectitudine și teorema de complexitate.

Teorema 2.4. *Algoritmul SMPDF calculează corect fluxul maxim în rețeaua dinamică planară staționară.*

Teorema 2.5. *Algoritmul SMPDF aplicat în rețeaua dinamică planară staționară are complexitatea $O(n^5 \log n)$.*

2.2.2 Fluxul maxim în rețele dinamice planare cu margine inferioară pozitivă

Rezultatele din acest subparagraf aparțin parțial autoarei acestei lucrări și sunt prezentate în lucrarea [73].

În acest subparagraf considerăm problema fluxului maxim în rețele dinamice planare staționare cu margine inferioară pozitivă.

Există două inconveniente pentru această problemă. Primul constă în faptul că deși în rețeaua planară statică $(1, n) D = (N, A, c = h, l, u)$ există un flux admisibil, este posibil ca în rețeaua expandată redusă $R_0 = (V_0, E_0, l_0, u_0)$ să nu existe nici un flux admisibil. Al doilea inconvenient constă în faptul că este posibil ca fluxul repetat în timp al fluxului admisibil de timp minim în rețeaua D , să nu fie un flux admisibil în rețeaua R_0 (sau R_1), deși în R_0 există un flux admisibil.

Presupunem că fluxul $f = \hat{f}$, determinat cu algoritmul mFPSN prezentat în subparagraful 1.2.2 în rețeaua statică $D = (N, A, c = h, l, u)$ este admisibil. Fie P_s un drum determinat cu procedura DFEF din algoritm SMDF prezentat în subparagraful 1.3.1 cu $r(P_s)$ fluxul, $h(P_s)$ timpul de tranzit și $\nu(P_s) = (T + 1) - h(P_s)$ numărul de repetiții ale drumului P_s , $s = 1, \dots, k$. Considerăm că $h(P_1) \leq \dots \leq h(P_k)$. Dacă drumul P_s este $P_s = ((1, x), \dots, (y, i), (i, j), \dots, (z, n))$, atunci definim $h_i(P_s) = h(1, x) + \dots + h(y, i)$ și $\bar{h}_i(P_s) = h(P_s) - h_i(P_s)$. În mod evident că $h_n(P_s) = h(P_s)$. Fie $H_i, i \in N$ mulțimea $H_i = \{t | t \in H, d(1, i; t) \leq t \leq T - d(i, n; t)\}$ cu precizarea că rețeaua dinamică D este staționară. Definim mulțimile $H_i^s = \{t, |t \in H_i, h_i(P_s) \leq t \leq T - \bar{h}_i(P_s)\} = \{h_i(P_s), h_i(P_s) + 1, \dots, T - \bar{h}_i(P_s)\}$ cu $|H_i^s| = \nu(P_s)$, $i \in P_s$ și $H_i^s = \emptyset$ pentru $i \notin P_s$, $s = 1, \dots, k$. În mod corespunzător drumurile în rețeaua R_0 sunt $P_s^t = (1_t, \dots, i_{\gamma+t}, \dots, n_{\eta+t}), t = 0, \dots, k_s$, $k_s = \nu(P_s) - 1$, $\gamma = h_i(P_s)$, $\eta = h_n(P_s) = h(P_s)$, $s = 1, \dots, k$. Dacă rețeaua dinamică este staționară, atunci avem $d(1, i; t) = d(1, i)$, $d(i, n; t) = d(i, n)$ pentru toate nodurile $i \in N$ și sunt calculate cu un algoritm de determinare a celui mai scurt drum.

Considerăm că arcele din A și din E_0 sunt aranjate într-o anumită ordine. Fie $e = (e(i, j)), q = (q(i, j)), g = (g(i, j; t))$ și $l_0 = (l_0(i_t, j_\theta)), u_0 = (u_0(i_t, j_\theta)), f_0 = (f_0(i_t, j_\theta))$, vectorul margine inferioară, vectorul margine superioară și vectorul flux în care aceste componente sunt ordonate în aceeași ordine cu ordinea arcelor din mulțimile A și E_0 . Generăm fluxul g dintr-un flux static în rețea statică $D = (N, A, c = h, e, q)$ și nu construim rețeaua statică R_0 , dar ne referim adesea la existența sa.

Definim lista $E'_0 = (a'_1, a'_2, \dots, a'_\alpha)$ cu proprietatea că $a'_i \in E_0$, $f_0(a'_i) < l_0(a'_i)$, $i = 1, 2, \dots, \alpha$, unde f_0 este fluxul repetat temporal în rețeaua R_0 generat de fluxul admisibil și de timp minim f^* . Fluxul f_0 este determinat de algoritmul SMDF prezentat în subparagraful 1.3.1 cu modificarea că procedura MVMCF folosește algoritmul mFPSN prezentat în subparagraful 1.2.2 care determină un flux admisibil $f = \overset{\circ}{f}$ și algoritmul de anulare a ciclului de cost (timp) mediu minim pentru determinarea unui flux de timp minim admisibil f^* în rețeaua statică $D = (N, A, c = h, e, q)$. Fie k'_i numărul drumurilor P_s^t care conțin arce a'_i , $i = 1, 2, \dots, \alpha$. Dacă există arcul $a'_j \in E'_0$ și $a'_j \notin P_s^t$, $s = 1, 2, \dots, k$, $t = 0, \dots, k_s$, atunci putem determina ușor drumul P_{k+1}^t care conține arcul a'_j . Selectăm arcele a'_i din E'_0 în ordinea crescătoare a numerelor k'_i . Fie \mathcal{P}_0 , $\mathcal{P}_0 = \{P_s^t | (i_t, j_\theta) \in P_s^t\}, (i_t, j_\theta) \in E'_0$.

Dacă $E'_0 = \emptyset$, f_0 este un flux admisibil în rețeaua R_0 , altfel determinăm un flux admisibil $\overset{\circ}{f}_0$ în rețeaua R_0 cu procedura FFR_0 prezentată în algoritmul 8.

Algoritmul 8: Algoritmul pentru determinarea unui flux admisibil în rețeaua R_0 .

```

 $FFR_0(l_0, u_0, f_0, E'_0, \mathcal{P}_0, \overset{\circ}{f}_0, k'_1, \dots, k'_\alpha);$ 
1 BEGIN
2    $\overset{\circ}{f}_0 := f_0; \beta := 1;$ 
3   repeat
4     selectează un arc  $a'_i$  din  $E'_0$  cu  $k'_i$  minim;
5     selectează drumul  $P_s^t$  din  $\mathcal{P}_0$  cu  $a'_i \in P_s^t$ ;
6     fie  $\hat{P}_s^t := P_s^t - \{a'_i\}$ ;
7      $r(\hat{P}_s^t) := \min\{u_0(i_t, j_\theta) - f_0(i_t, j_\theta) | (i_t, j_\theta) \in \hat{P}_s^t\};$ 
8     if  $l_0(a'_i) - f_0(a'_i) \leq r(\hat{P}_s^t)$ 
9       BEGIN
10          $r(P_s^t) := l_0(a'_i) - f_0(a'_i);$ 
11         crește  $\overset{\circ}{f}_0$  cu  $r(P_s^t)$  de-a lungul drumului  $P_s^t$ ;
12         elimină din  $E'_0$  arcele  $a'_i$  cu  $l_0(a'_i) \leq \overset{\circ}{f}_0(a'_i)$ ;
13       END
14     else  $\beta := 0;$ 
15     if  $\beta = 0$ ;
16       Exit;
17   until  $E'_0 = \emptyset$ ;
18   if  $\beta = 1$ ;
19     then  $\overset{\circ}{f}_0$  este un flux admisibil în  $R_0$ 
20     else nu există flux admisibil în  $R_0$ ;
21 END.

```

Teorema 2.6. Dacă $E'_0 \neq \emptyset$ și există un flux admisibil în rețeaua dinamică planară orientată $(1, n)$ $D = (N, A, h, e, q)$ atunci procedura

FFR_0 determină un flux admisibil în rețeaua D , altfel procedura specifică faptul că nu există un flux admisibil în D .

Teorema 2.7. Procedura FFR_0 are complexitatea $O(n^2T^2)$.

Prezentăm pentru această problemă un algoritm pentru fluxul admisibil maxim de timp minim \hat{f}^* în rețeaua statică $D = (N, A, c = h, e, q)$ care generează un flux admisibil maxim \hat{f}_0 în rețeaua statică R_0 . Algoritmul pentru fluxul admisibil de timp minim \hat{f}^* în rețeaua statică $D = (N, A, c = h, e, q)$ este în esență același ca algoritmul lui Ahuja-Orlin al rețelelor stratificate pentru problema fluxului maxim ([2]). Facem următoarele modificări la algoritmul prezentat de Ahuja-Orlin al rețelelor stratificate: etichetele distanță $d(i)$ sunt distanțele de la nodul 1 cu privire la cost $c = h$, care pot fi rezolvate cu un algoritm clasic. Remarcăm că acest algoritm este o variantă a algoritmului de drumuri minime succesive (Ahuja, Magnanti și Orlin [2]). Algoritmul de generare a unui flux admisibil maxim \hat{f}_0 în rețeaua statică R_0 este o variantă a algoritmului Wilkinson prezentat în lucrarea Wilkinson [79]. Varianta algoritmului Wilkinson (VWA) este prezentată în algoritmul 9.

Algoritmul 9: Varianta algoritmului Wilkinson.

```

VWA;
1 BEGIN
2    $\hat{f}^* := f^*; \hat{f}_0 := f_0;$ 
3   construim rețeaua reziduală  $\tilde{D}$  cu privire la  $\hat{f}^*$ ;
4   obținem etichetele distanță exacte  $d(i)$  în  $\tilde{D}$ ;
5   for  $i \in N$  do
6      $b(i) := \text{true};$ 
7    $i := 1;$ 
8   while  $d(n) \leq T$  do
9     if  $b(1) = \text{true}$ 
10    then if există un arc admisibil  $(i, j)$ 
11      then BEGIN
12        ÎNAINTARE  $(i);$ 
13        if  $i = n$ 
14          then BEGIN
15            MĂRIRE;
16             $i := 1;$ 
17            END;
18          END
19        else ÎNAPOIERE( $i)$ 
20      else BEGIN
21        determină etichetele distanță exactă  $d(i)$  în  $\tilde{D}$ ;
22        for  $i \in N$  do
23           $b(i) := \text{true};$ 
24           $i := 1;$ 

```

25 END;
 26 END.

 PROCEDURE ÎNAINTARE(i);
 1 BEGIN
 2 $\tilde{p}(j) := i$;
 3 $i := j$;
 4 END;

PROCEDURE ÎNAPOIERE(i);
 1 BEGIN
 2 $b(i) := \text{false}$;
 3 **if** $i \neq 1$
 4 **then** $i := \tilde{p}(i)$;
 5 END;

PROCEDURE MĂRIRE;
 1 BEGIN
 2 identifică un drum de mărire \tilde{P} folosind lista predecesorilor \tilde{p} ;
 3 $r(\tilde{P}) := \min\{r(i, j) | (i, j) \in \tilde{A}\}$;
 4 actualizează rețeaua reziduală \tilde{D} ;
 5 identifică lanțurile C_0^t din R_0 corespunzătoare drumului \tilde{P} ;
 6 determină $r(C_0^t)$ pentru toți t ;
 7 mărește fluxul $\overset{*}{f}_0$ cu $r(C_0^t)$ de-a lungul lanțului C_0^t pentru toți t ;
 8 END;

Rețeaua \tilde{D} este rețeaua reziduală a rețelei statice $D = (N, A, c = h, e, q)$. Amintim că un arc (i, j) în rețeaua reziduală \tilde{D} este admisibil dacă satisfacă condițiile că $d(j) = d(i) + 1$ și nodul j nu este blocat ($b(j) = \text{true}$) cu $d(i)$, $d(j)$ distanțele privind costul $c = h$. Lanțurile C_0^t în rețeaua statică R_0 sunt identificate în același mod ca și drumurile P_s^t corespunzătoare drumului P_s care este prezentat mai sus.

Teorema 2.8. *Algoritmul VWA determină un flux maxim admisibil în rețeaua dinamică planară $(1, n)$ $D = (N, A, h, e, q, H)$.*

Teorema 2.9. *Algoritmul VWA are complexitatea $O(n^2T^2\bar{q})$, unde $\bar{q} = \max\{q(i, j) | (i, j) \in A\}$.*

Prezentăm, mai jos, algoritmul complet pentru fluxul admisibil maxim în rețeaua dinamică planară $(1, n)$ (CAMFFPDN).

Algoritmul 10: Algoritmul complet pentru fluxul admisibil maxim în rețeaua dinamică planară $(1, n)$

CAMFFPDN;
 1 BEGIN
 2 SMDF($D, \overset{*}{f}, \overset{*}{f}_0, f_0$);
 3 **if** f_0 nu este admisibil
 4 **then** $FFR_0(R_0, f_0, E'_0, \mathcal{P}_0, \overset{*}{f}_0, k'_1, \dots, k'_\alpha)$

4 VWA($D, \hat{f}^*, R_0, f_0, \hat{f}^*, f_0$);
 5 END.

Teorema 2.10. *Algoritmul CAMFPDN determină un flux admisibil maxim în rețeaua dinamică planară $(1, n)$ $D = (N, A, h, e, q, H)$.*

Teorema 2.11. *Algoritmul CAMFPDN are complexitatea $O(n^2 T^2 \bar{q})$.*

2.2.3 Fluxul minim în rețelele dinamice planare

Rezultatele din acest subparagraf aparțin parțial autoarei acestei lucrări și sunt prezentate în lucrarea [33] în curs de publicare.

Considerăm problema fluxului minim în rețeaua dinamică staționară $(1, n)$ $D = (N, A, h, e, q, H)$.

Remarcăm faptul că dacă fluxul minim $f = \hat{f}$ obținut cu algoritmul mFPSN prezentat în subparagraful 1.2.2 este inadmisibil ($u(i, j) < \hat{f}(i, j)$) pentru unul sau mai multe arce $((i, j) \in A)$, atunci nu există flux admisibil în rețeaua D .

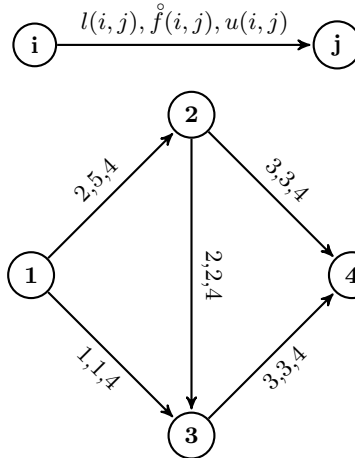


Figura 2.1: Fluxul minim \hat{f} nu este admisibil.

De exemplu, fluxul minim $f = \hat{f}$ obținut cu algoritmul mFPSN pentru rețeaua din Figura 2.1 este un flux indamisibil deoarece $u(1, 2) = 4 < 5 = \hat{f}(1, 2)$. Dacă considerăm $X = \{1, 3, 4\}$, $\bar{X} = \{2\}$ avem $u(X, \bar{X}) = 4 < 5 = l(X, \bar{X})$ și din teorema fluxului admisibil prezentată în lucrarea Ahuja, Magnanti și Orlin [2] rezultă că în rețeaua D nu există un flux admisibil.

Precizăm că fluxul admisibil $\overset{\circ}{f}_0$ determinat cu procedura FFR_0 este un flux admisibil minim în rețeaua R_0 , deoarece fluxul $\overset{\circ}{f}_0$ în R_0 este generat de fluxul admisibil minim de timp minim $\overset{*}{f}$ în rețeaua statică $D = (N, A, c = h, l = e, u = q)$ și de metoda prin care este calculat $\overset{\circ}{f}_0$ în procedura FFR_0 . Fluxul admisibil minim în rețeaua R_0 este echivalent cu un flux admisibil în rețeaua dinamică $D = (N, A, h, e, q)$.

Să considerăm teoretic, că pot exista anumite rețele dinamice planare de dimensiuni foarte mari în care $\overset{\circ}{f}_0$ determinat cu procedura FFR_0 nu este minim. În acest caz se folosește algoritmul de mai jos.

Algoritmul 10': Algoritmul complet pentru fluxul admisibil minim în rețeaua dinamică planară $(1, n)$

```

CAmFFPDN;
1 BEGIN
2   SMDF( $D, \overset{\circ}{f}, f^*, f_0$ );
3   if  $f_0$  nu este admisibil
4     then  $FFR_0(R_0, f_0, E'_0, \mathcal{P}_0, \overset{\circ}{f}_0, k'_1, \dots, k'_\alpha)$ 
5     if  $f_0$  nu este un flux minim
6       then VWAm( $D, f^*, R_0, \overset{*}{f}^*, \overset{*}{f}_0$ );
7 END.

```

Procedurile SMDF și FFR_0 sunt procedurile precizate în algoritmul 10. Dacă fluxul admisibil f_0 nu este un flux minim atunci se aplică procedura VWAm (varianta algoritmului Wilkinson pentru fluxul minim) care determină un flux admisibil minim $\overset{\circ}{f}_0$ pornind de la fluxul admisibil inițial f_0 .

Teorema 2.12. *Algoritmul CAmFFPDN determină un flux admisibil minim în rețeaua dinamică planară $(1, n)$ $d = (N, A, h, e, q, H)$*

Până în prezent, autoarea lucrării, nu a găsit un exemplu în care $\overset{\circ}{f}_0$ determinat cu procedura FFR_0 să nu fie flux minim.

3. Fluxuri în rețele dinamice bipartite

3.1 Fluxuri în rețele dinamice bipartite. Abordarea statică

3.1.1 Fluxuri maxime în rețele dinamice bipartite cu marginea inferioară zero

Rezultatele din acest subparagraf aparțin autoarei acestei teze și sunt publicate în lucrarea [65].

Considerăm că rețeaua dinamică $D = (N, A, h, e = 0, q, H)$ este bipartită.

Construim rețeaua expandată redusă statică $R_0 = (V_0, E_0, l_0, u_0)$.

Teorema 3.1. *Dacă rețeaua dinamică $D = (N, A, h, e = 0, q, H)$ este bipartită, atunci rețeaua statică expandată redusă $R_0 = (V_0, E_0, u_0)$ este bipartită.*

Fie w_1, w_2, ε_0 cu $w_1 = |W_1|, w_2 = |W_2|, \varepsilon_0 = |E_0|$. Dacă $n_1 \ll n_2$ este evident că $w_1 \ll w_2$. În rețeaua statică bipartită R_0 determinăm un flux maxim f_0 cu o generalizare a algoritmului preflux FIFO bipartit prezentat în subparagraful 1.2.3 (algoritm 4).

Reamintim faptul că algoritmul preflux FIFO ar putea efectua mai multe înaintări saturate următe, fie de o înaintare saturată, fie de o operație de reetichetare. Ne referim la această secvență de operații ca la o examinare a nodurilor. Algoritmul analizează nodurile active în ordinea FIFO. Algoritmul menține lista Q a nodurilor active într-o coadă. Prin urmare, algoritmul selectează un nod i de la începutul listei Q , execută înaintările pentru acest nod, și adaugă noi noduri active la sfârșitul cozii Q . Algoritmul analizează nodul i până când acesta devine inactiv sau este reetichetat. În ultimul caz, adăugăm nodul i la finalul cozii Q . Algoritmul se termină când coada Q a nodurilor active este goală.

Versiunea generalizată a algoritmului preflux FIFO pentru fluxul maxim în rețele bipartite este numită algoritmul preflux FIFO bipartit generalizat. O biînaintare este o înaintare peste două arce admisibile consecutive. Se trimite excesul de la un nod $i_t \in W_1$ la alt nod $k_\tau \in W_1$. Această abordare se referă la faptul că algoritmul trimite fluxul pe drumul $\tilde{D} = (i_t, j_\theta, k_\tau), j_\theta \in W_2$, și se asigură că niciun nod din W_2 nu

a avut vreodată exces. O înaintare de α unități de la nodul i_t la nodul j_θ scade atât $e(i_t)$, cât și $r_0(i_t, j_\theta)$ cu α unități și crește atât $e(j_\theta)$, cât și $r_0(j_\theta, i_t)$ cu α unități, unde $\alpha = \min\{e(i_t), r_0(i_t, j_\theta), r_0(j_\theta, i_t)\}$.

Precizăm că menținem lista arcelor $E_0^+(i_t) = \{(i_t, j_\theta) | (i_t, j_\theta) \in E_0\}$. Putem aranja arcele în aceste liste arbitrar, dar ordinea decisă rămâne neschimbătă pe tot parcursul algoritmului. Fiecare nod i_t are un arc curent, care este un arc în $E_0^+(i_t)$ și este următorul arc pentru testarea admisibilității. Inițial, arcul curent al nodului i_t este primul arc în $E_0^+(i_t)$. De fiecare dată când algoritmul încearcă să găsească un arc admisibil de la nodul i_t , se testează dacă arcul nodului curent este admisibil. Dacă nu, acesta desemnează următorul arc din lista de arce curente. Algoritmul repetă această procedură până când fie găsește un arc admisibil, fie se ajunge la sfârșitul listei arcelor.

Algoritmul preflux FIFO bipartit generalizat (GBFIFOP1) este prezentat mai jos.

Algoritmul 11: Algoritmul preflux FIFO bipartit generalizat (GBFIFOP1)

```

GBFIFOP1;
1 BEGIN
2   INITIALIZARE;
3   while  $Q \neq \emptyset$  do
4     BEGIN
5       selectează nodul  $i_t$  de la începutul listei  $Q$ ;
6       BIÎNAINTARE/REETICHETARE( $i_t$ );
7     END;
8   END.

PROCEDURA INITIALIZARE;
1 BEGIN
2    $f := 0$ ;  $Q := \emptyset$ ;
3   calculează etichetele distanță exacte  $d(i_t)$ ;
4   for  $t \in H_1$  do
5     BEGIN
6        $f_0(1_t, j_\theta) := u_0(1_t, j_\theta)$  și adaugă nodul  $j_\theta$  la sfârșitul listei  $Q$ 
       pentru toate arcele  $(1_t, j_\theta) \in E_0$ ;
7        $d(1_t) := 2w_2 + 1$ ;
8     END;
9   END;

PROCEDURA BIÎNAINTARE/REETICHETARE( $i_t$ );
1 BEGIN
2   selectează primul arc  $(i_t, j_\theta)$  din  $E_0^+(i_t)$  cu  $r_0(i_t, j_\theta) > 0$ ;
3    $\beta := 1$ ;
4   repeat
5     if  $(i_t, j_\theta)$  este arc admisibil

```

```

6           if  $(j_\theta, k_\tau)$  este arc admisibil
7             BEGIN
8               înaintea  $\alpha := \min\{e(i_t), r_0(i_t, j_\theta), r_0(j_\theta, k_\tau)\}$ 
9               unități ale fluxului peste arcele  $(i_t, j_\theta), (j_\theta, k_\tau)$ ;
10              if  $k_\tau \notin Q$ 
11                adaugă nodul  $k_\tau$  la sfârșitul listei  $Q$ ;
12              END
13            else if  $(j_\theta, k_\tau)$  nu este ultimul arc din  $E_0^+(j_\theta)$  cu
14               $r_0(j_\theta, k_\tau) > 0$ 
15              selectează următorul arc din  $E_0^+(j_\theta)$ 
16            else  $d(j_\theta) := \min\{d(k_\tau) + 1 | (j_\theta, k_\tau) \in E_0^+(j_\theta),$ 
17               $r_0(j_\theta, k_\tau) > 0\}$  ;
18            if  $e(i_t) > 0$ 
19              if  $(i_t, j_\theta)$  nu este ultimul arc din  $E_0^+(j_\theta)$  cu  $r_0(i_t, j_\theta) > 0$ 
20                selectează următorul arc din  $E_0^+(i_t)$ 
21              else
22                BEGIN
23                   $d(i_t) := \min\{d(j_\theta) + 1 | (i_t, j_\theta) \in E_0^+(j_\theta),$ 
24                   $r_0(i_t, j_\theta) > 0\};$ 
25                   $\beta := 0$ ;
26                END
27              END
28            until  $e(i_t) = 0$  sau  $\beta = 0$ 
29            if  $e(i_t) > 0$ 
30              adaugă nodul  $i_t$  la sfârșitul listei  $Q$ ;
31          END;

```

Precizăm că orice drum în rețeaua reziduală $\tilde{R}_0 = (V_0, \tilde{E}_0, r_0)$ poate avea cel mult $2w_2 + 1$ arce. Prin urmare, am stabilit $d(1_t) := 2w_2 + 1$ în procedura INITIALIZARE.

Corectitudinea algoritmului GBFIFOP1 rezultă din corectitudinea algoritmului pentru flux maxim în rețeaua bipartită (Ahuja, Orlin, Stein și Tarjan [1]).

Teorema 3.2. *Algoritmul GBFIFOP1 care determină un flux maxim într-o rețea dinamică bipartită $D = (N, A, h, e = 0, q)$ are complexitatea $O(n_1 m T^2 + n_1^3 T^3)$.*

3.1.2 Fluxuri maxime în rețele dinamice bipartite cu margine inferioară pozitivă

Rezultatele din acest subparagraf sunt originale și sunt publicate în lucrările [70] și [72].

În această subparagraf rețeaua dinamică $D = (N, A, h, e, q, H)$ este bipartită.

Construim rețeaua statică expandată redusă $R_0 = (V_0, E_0, l_0, u_0)$ și reamintim faptul că rețeaua R_0 este o rețea bipartită cu $V_0 = W_1 \cup W_2$,

$W_1 = \{i_t | i \in N_1, t \in H_i\}$, $W_2 = \{i_t | i \in N_2, t \in H_i\}$. Fie w_1, w_2, ε_0 , $w_1 = |W_1|$, $w_2 = |W_2|$, $\varepsilon_0 = |E_0|$. Dacă $n_1 << n_2$ atunci evident că $w_1 << w_2$. În rețeaua statică bipartită R_0 determinăm un flux maxim f_0 cu o generalizare a algoritmului preflux bipartit FIFO.

Generalizăm algoritmul GBFIFOP1 prezentat în subparagraful 3.1.1 pentru cazul $l_0 > 0$. Există mai multe noduri sursă $1_t, t \in H_1$ și mai multe noduri stoc $n_t, t \in H_n$. De asemenea, prezentăm în detaliu pseudocodul.

Algoritmul GBFIFOP1 bipartit generalizat (GBFIFOP2) este prezentat mai jos:

Algoritmul 12: Algoritmul preflux FIFO generalizat bipartit (GBFIFOP2)

```

GBFIFOP2;
1 BEGIN
2   INITIALIZARE;
3   while  $Q \neq \emptyset$  do
4     BEGIN
5       selectează nodul  $i_t$  de la începutul listei  $Q$ ;
6       BIÎNAINTARE/REETICHETARE( $i_t$ );
7     END;
8   END.

PROCEDURA INITIALIZARE;
1 BEGIN
2    $f_0$  este un flux admisibil în  $R_0$ ;  $Q := \emptyset$ ;
3   calculează etichetele distanță exacte  $d(i_t)$ ;
4   for  $t \in H_1$  do
5     BEGIN
6        $f_0(1_t, j_\theta) := u_0(1_t, j_\theta)$  și adaugă nodul  $j_\theta$  la sfârșitul listei  $Q$ 
       pentru toate arcele  $(1_t, j_\theta) \in E_0$ ;
7        $d(1_t) := 2w_2 + 1$ ;
8     END
9   END;

PROCEDURA BIÎNAINTARE/REETICHETARE( $i_t$ );
1 BEGIN
2   selectează primul arc  $(i_t, j_\theta)$  din  $E_0^+(i_t)$  cu  $r_0(i_t, j_\theta) > 0$ ;
3    $\beta := 1$ ;
4   repeat
5     if  $(i_t, j_\theta)$  este arc admisibil
6       BEGIN
7         selectează primul arc  $(j_\theta, k_\tau)$  din  $E_0^+(j_\theta)$  cu  $r_0(j_\theta, k_\tau) > 0$ ;
8         if  $(j_\theta, k_\tau)$  este arc admisibil
9           BEGIN
10            înaintează  $\alpha := \min \{e(i_t), r_0(i_t, j_\theta), r_0(j_\theta, k_\tau)\}$ 
             unități ale fluxului peste arcele  $(i_t, j_\theta), (j_\theta, k_\tau)$ ;

```

```

11      if  $k_\tau \notin Q$ 
12          adaugă nodul  $k_\tau$  la sfârșitul listei  $Q$ ;
13      END
14      else if  $(j_\theta, k_\tau)$  nu este ultimul arc din  $E_0^+(j_\theta)$  cu
15           $r_0(j_\theta, k_\tau) > 0$ 
16          selectează următorul arc din  $E_0^+(j_\theta)$ 
17      else  $d(j_\theta) := \min\{d(k_\tau) + 1 | (j_\theta, k_\tau) \in E_0^+(j_\theta),$ 
18           $r_0(j_\theta, k_\tau) > 0\};$ 
19          if  $e(i_t) > 0$ 
20              if  $(i_t, j_\theta)$  nu este ultimul arc din  $E_0^+(j_\theta)$  cu  $r_0(i_t, j_\theta) > 0$ 
21                  selectează următorul arc din  $E_0^+(i_t)$ 
22              else
23                  BEGIN
24                       $d(i_t) := \min\{d(j_\theta) + 1 | (i_t, j_\theta) \in E_0^+(j_\theta),$ 
25                       $r_0(i_t, j_\theta) > 0\};$ 
26                       $\beta := 0;$ 
27                  END
28          adaugă nodul  $i_t$  la sfârșitul listei  $Q$ ;
29 END;

```

Precizăm faptul că în prima fază se determină un flux admisibil în R_0 cu algoritmul GBFIFOP1 modificând problema conform cu explicațiile date în subparagraful 1.1.2 (a se vedea și [2]).

Remarcăm faptul că orice drum în rețeaua reziduală $\tilde{R}_0 = (V_0, \tilde{E}_0, r_0)$ poate avea cel mult $2w_1 + 1$ arce. De aceea am stabilit $d(1_t) := 2w_1 + 1$ în procedura INITIALIZARE.

Corectitudinea algoritmului GBFIFOP2 rezultă din corectitudinea algoritmului pentru fluxul maxim în rețele bipartite Ahuja, Orlin, Stein, Tarjan [1].

Teorema 3.3. *Algoritmul GBFIFOP2 care determină un flux maxim într-o rețea dinamică $D = (N, A, h, e, q, H)$ are complexitatea $O(n_1 m T^2 + n_1^3 T^3)$.*

3.1.3 Fluxuri minime în rețele dinamice bipartite

Rezultatele acestui subparagraf aparțin parțial autoarei acestei teze și sunt conținute în lucrarea [32] trimisă spre publicare.

În acest subparagraf rețeaua dinamică $D = (N, A, h, e, q, H)$ este bipartită.

Construim rețeaua expandată redusă statică $R_0 = (V_0, E_0, l_0, u_0)$ cu $V_0 = W_1 \cup W_2$, $W_1 = \{i_t | i \in N_1, t \in H_i\}$, $W_2 = \{i_t | i \in N_2, t \in H_i\}$.

Conform Teoremei 3.1 rezultă că dacă rețeaua dinamică $D = (N, A, h, e, q, H)$ este bipartită, atunci rețeaua expandată redusă statică $R_0 = (V_0, E_0, l_0, u_0)$ este bipartită.

Fie w_1, w_2, ε_0 cu $w_1 = |W_1|$, $w_2 = |W_2|$, $\varepsilon_0 = |E_0|$. Dacă $n_2 \ll n_1$ atunci observăm că $w_2 \ll w_1$. În rețeaua statică bipartită R_0 determinăm un flux minim f_0 cu algoritmul preflux FIFO bipartit generalizat pentru fluxul minim.

Algoritmul (GBFIFOP3) preflux FIFO bipartit generalizat pentru fluxul minim este prezentat mai jos:

Algoritm 13: Algoritmul preflux FIFO bipartit generalizat pentru fluxul minim (GBFIFOP3)

```

GBFIFOP3;
1 BEGIN
2   INITIALIZARE;
3   while  $Q \neq \emptyset$  do
4     BEGIN
5       selectează nodul  $j_\theta$  de la începutul listei  $Q$ ;
6       BIÎNAPOIERE/REETICHETARE( $j_\theta$ );
7     END;
8   END.

PROCEDURE INITIALIZARE;
1 BEGIN
2    $f_0$  este un flux admisibil în  $R_0$ ;  $Q := \emptyset$ ;
3   calculează funcția distanță exactă  $\hat{d}$  în rețeaua reziduală  $\hat{G}$ ;
4   for  $\lambda \in H_n$  do
5     BEGIN
6        $f_0(j_\theta, n_\lambda) := l_0(j_\theta, n_\lambda)$  și adaugă nodul  $j_\theta$  la sfârșitul listei  $Q$ 
       pentru toate arcele  $(j_\theta, n_\lambda) \in E_0$ ;
7        $\hat{d}(n_\lambda) := 2w_2 + 1$ ;
8     END;
9   END;

PROCEDURA BIÎNAPOIERE/REETICHETARE( $j_\theta$ );
1 BEGIN
2   selectează primul arc  $(i_t, j_\theta)$  din  $E_0^-(j_\theta)$  cu  $\hat{r}_0(i_t, j_\theta) > 0$ ;
3    $\beta := 1$ ;
4   repeat
5     if  $(i_t, j_\theta)$  este arc admisibil
6       BEGIN
7         selectează primul arc  $(k_\tau, i_t)$  din  $E_0^-(i_t)$  cu  $\hat{r}_0(k_\tau, i_t) > 0$ ;
8         if  $(k_\tau, i_t)$  este arc admisibil
9           BEGIN
10            înapoiază  $\alpha := \min \{-e(j_\theta), \hat{r}_0(i_t, j_\theta), \hat{r}_0(k_\tau, i_t)\}$ 
11            unități de flux peste arcele  $(i_t, j_\theta), (k_\tau, i_t)$ ;
11         END
11       END
11     END
11   END

```

```

12      if  $k_\tau \notin Q$ 
13          adaugă nodul  $k_\tau$  la sfârșitul listei  $Q$ ;
14      else if  $(k_\tau, i_t)$  nu este ultimul arc din  $E_0^-(i_t)$  cu
15           $\hat{r}_0(k_\tau, i_t) > 0$ 
16          selectează următorul arc din  $E_0^-(i_t)$ ,
17          else  $\hat{d}(i_t) := \min\{d(k_\tau) + 1 | (k_\tau, i_t) \in E_0^-(i_t),$ 
18           $\hat{r}_0(k_\tau, i_t) > 0\}$ ;
19          if  $e(j_\theta) > 0$ 
20              if  $(i_t, j_\theta)$  nu este ultimul arc din  $E_0^-(j_\theta)$  cu  $\hat{r}_0(i_t, j_\theta) > 0$ 
21                  selectează următorul arc din  $E_0^-(j_\theta)$ 
22              else
23                  BEGIN
24                       $\hat{d}(j_\theta) := \min\{d(i_t) + 1 | (i_t, j_\theta) \in E_0^-(j_\theta),$ 
25                       $\hat{r}_0(i_t, j_\theta) > 0\}$ ;
26                       $\beta := 0$ ;
27                  END
28          until  $e(j_\theta) = 0$  sau  $\beta = 0$ 
29          if  $e(j_\theta) > 0$ 
30              adaugă nodul  $j_\theta$  la sfârșitul listei  $Q$ ;
31      END;

```

Remarcăm faptul că orice drum în rețeaua reziduală $\tilde{R}_0 = (V_0, \tilde{E}_0, r_0)$ poate avea cel mult $2w_2+1$ arce. Prin urmare, stabilim $\hat{d}(n_\lambda) := 2w_2+1$ în procedura INITIALIZARE.

Corectitudinea algoritmului GBFIFOP3 rezultă din corectitudinea algoritmului pentru flux minim în rețele bipartite (Ciurea, Georgescu și Marinescu [28]).

Teorema 3.4. *Algoritmul GBFIFOP3 care determină un flux minim în rețeaua dinamică $D = (N, A, h, e, q, H)$ are complexitatea $O(n_2 m T^2 + n_2^3 T^3)$.*

3.2 Fluxuri în rețele dinamice bipartite. Abordarea dinamică

3.2.1 Fluxul maxim în rețele dinamice bipartite cu marginea inferioară zero

Rezultatele din acest subparagraf aparțin autoarei și sunt publicate în lucrarea [68].

În acest subparagraf considerăm fluxul maxim în rețele dinamice bipartite în cazul staționar $h(i, j; t) = h(i, j)$, $q(i, j; t) = q(i, j)$, $(i, j) \in A, t \in H$. Folosim algoritmul SMDF care a fost prezentat în subparagraful 1.3.1. În acest subparagraf rețeaua dinamică $D = (N, A, h, e = 0, q, H)$ este bipartită.

Considerăm rețeaua statică bipartită $G = (N, A, c = h, l = 0, u)$ unde

$c(i, j) = h(i, j)$, $u(i, j) = q(i, j)$, $(i, j) \in A$. Procedura MVMCF din algoritmul SMDF efectuează algoritmul pentru fluxul de cost minim și valoare maximă f^* în rețeaua statică bipartită. Versiunea modificată a algoritmului de scalare a costului pentru rețeaua statică bipartită G începe cu orice flux admisibil. În acest caz fluxul admisibil este un flux maxim f . Determinăm un flux f de valoare maximă cu versiunea modificată a algoritmului preflux FIFO care are complexitatea $O(n_1m + n_1^3)$. Versiunea modificată a algoritmului de scalare a costului are complexitatea $O(n_1m + n_1^3 \log(n_1\bar{c})) = O(n_1m + n_1^3 \log(n_1\bar{h}))$, $\bar{h} = \max\{h(i, j) | (i, j) \in A\}$.

Teorema 3.5. *Algoritmul SMDF calculează în mod corect fluxul maxim în rețeaua dinamică staționară bipartită.*

Teorema 3.6. *Algoritmul SMDF aplicat pe rețeaua dinamică staționară bipartită are complexitatea $O(\max\{n_1m + n_1^3 \log(n_1\bar{h}), nT\})$.*

4. Aplicații și concluzii

4.1 Aplicații

Fluxurile dinamice apar în rezolvarea multor probleme, inclusiv sisteme de producție-distribuție, planificare economică, sisteme energetice, sisteme de trafic și sisteme de evacuare a clădirilor. În continuare vom prezenta o aplicație referitor la evacuarea unei clădiri. Această aplicație reprezintă conținutul unui articol al autoarei acestei teze [66].

Vom arăta cum o problemă de evacuare a unei clădiri este modelată ca o problemă de flux dinamic. În acest exemplu, obiectul care urmează să fie evacuat este reprezentat de o rețea numită rețea de evacuare în care nodurile corespund părților relevante ale obiectului de evacuare, iar arcele reprezintă conexiuni între aceste părți. Unul sau mai multe noduri se disting ca noduri sursă, iar altele ca noduri destinație. Grupul de persoane evacuate este modelat ca flux dinamic. Un model de rețea dinamică al obiectelor de evacuare are următoarele componente: orizontul de timp și unitățile de bază, nodul, arcul, sursa și destinația. Orizontul de timp T este împărțit în perioade de timp finite $t = 0, 1, \dots, T$. Nodurile sunt folosite pentru a modela punctele și/sau locațiile conectate. Există câteva alternative de luat în considerare la definirea unui nod. Nodurile care reprezintă locații care găzduiesc un număr semnificativ de persoane sunt nodurile sursă, iar ieșirile clădirii sunt noduri destinație în rețea. Oferta unui nod sursă este dată de numărul de persoane evacuate din locația asociată nodului. Fiecare nod din rețea are o capacitate care reprezintă numărul maxim de persoane evacuate care pot ocupa în siguranță un nod la un moment dat.

Pentru detalii se poate consulta lucrarea [50].

Exemplu. În Figura 4.1 este prezentată o secțiune de plan a primului etaj al unui cămin studențesc. Această secțiune are treisprezece camere și un corridor. Este conectată la ușa de ieșire din clădire, de la parter, printr-o scară. O altă ieșire, mai precis ieșirea de urgență, din clădire este localizată la capătul din stânga al corridorului.

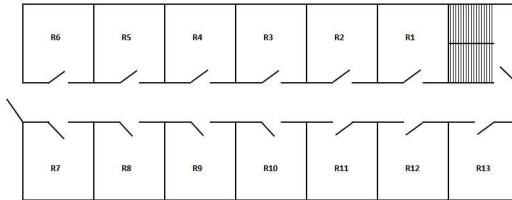


Figura 4.1: Planul secțiune de la etajul întâi al clădirii

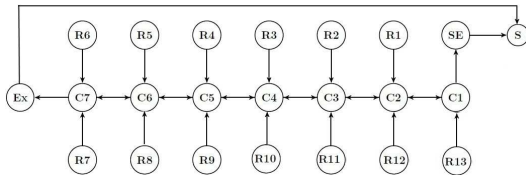


Figura 4.2: Reprezentarea rețelei

În Figura 4.2 am reprezentat rețeaua corespunzătoare planului de secțiune de la etaj unde: $R1 - R13$ reprezintă camerele, $C1 - C7$ reprezintă corridorul, SE – scările de ieșire, Ex – ușa de ieșire de la capătul din stânga al corridorului, și S un nod suplimentar ca zonă de siguranță comună. Pentru a defini arcele de rețea, se consideră o situație în care unele persoane sunt situate în camera $R9$ chiar înainte de anunțarea unei evacuări. De îndată ce vor afla că va fi o evacuare, persoanele vor ieși din camera lor și vor intra în zona de corridor modelată de nodul $C5$. Apoi, o parte dintre persoane vor alege să se mute la $C6$ deoarece ei vor să iasă afară folosindu-se de ușa de ieșire de la capătul din stânga al corridorului, în timp ce alții aleg să se mute la $C4$ deoarece ei vor să iasă afară folosindu-se de ușa de ieșire de la parter. Situația similară este luată în considerare și pentru alte încăperi. Aceste posibilități de mișcare determină direcția arcelor din modelul de rețea. În timpul procesului de evacuare, o conexiune între două noduri poate fi temporară datorită, de exemplu, blocării prin foc sau fum. În acest caz, un arc care reprezintă o conexiune trebuie, de asemenea, să fie temporar, capacitatea arcului scade în timp și devine zero după câteva momente. Prin urmare, timpul necesar pentru traversarea arcului de la un nod la altul poate fi variabil în timp. Aplicația analizează evacuarea unei clădiri cu număr de ocupanți cunoscut sau necunoscut. Atunci când numărul de locuitori dintr-o clădire este greu de estimat, suntem interesați să găsim numărul maxim de persoane evacuate care pot fi trimise în zona de siguranță într-un anumit orizont de timp T .

4.2 Concluzii

În lucrarea de față am abordat problema claselor de fluxuri dinamice axându-ne, în special, pe probleme de flux în rețele dinamice planare și rețele dinamice bipartite având la bază contribuțiile originale ale autoarei. În capitolele 2 și 3 au fost prezentate principalele rezultate ale autoarei, publicate sau trimise spre publicare în literatura de specialitate.

În capitolul 2 este prezentată construcția rețelei statice expandate reduse cu drumuri dinamice, precum și abordarea statică a fluxului maxim în rețele dinamice planare cu margine inferioară zero. De asemenea, se prezintă abordarea dinamică a determinării fluxului maxim în rețele dinamice planare cu margine inferioară zero și în rețele cu margine inferioară pozitivă, precum și problema fluxului minim în această clasă de probleme.

În capitolul 3 am abordat problema fluxurilor în rețele dinamice bipartite, atât în ceea ce privește abordarea statică, cât și abordarea dinamică.

Pentru fiecare problemă prezentată în capitolele 2 și 3 am propus câte un algoritm prezentat, în mod detaliat, în pseudocod, precum și câte un exemplu sugestiv pentru claritatea fiecărei probleme expuse.

În Tabelul 4.1, de mai jos, am prezentat, sintetizat, complexitatea algoritmilor descriși în capitolele 2 și 3.

Rețea	Abordare	Flux	Margine inferioară	Complexitate
dinamică planară	statică	maxim	$e = 0$	$O(nT \log^{1.5} nT)$
			$e > 0$	—
	dinamică	minim	$e > 0$	—
			$e = 0$	$O(n^5 \log n)$
		maxim	$e > 0$	$O(n^2 T^2 \bar{q})$
		minim	$e > 0$	$O(n^2 T^2)$
dinamică bipartită	statică	maxim	$e = 0$	$O(n_1 m T^2 + n_1^3 T^3)$
			$e > 0$	$O(n_1 m T^2 + n_1^3 T^3)$
		minim	$e > 0$	$O(n_2 m T^2 + n_2^3 T^3)$
	dinamică	maxim	$e = 0$	$O(\max\{n_1 m T^2 + n_1^3 \log(n_1 \bar{h}), nT\})$
			$e > 0$	—
		minim	$e > 0$	—

Tabelul 4.1: Complexitatea algoritmilor pentru determinarea fluxului maxim și a fluxului minim în rețele dinamice planare și rețele dinamice bipartite

Multe probleme interesante de flux în rețele dinamice planare și rețele dinamice bipartite sunt încă nestudiate, și anume:

- problema fluxului maxim în rețele dinamice planare cu margine inferioară pozitivă, abordarea statică;
- problema fluxului minim în rețele dinamice planare, abordarea statică;
- problema fluxului maxim în rețele dinamice bipartite cu margine inferioară pozitivă, abordarea dinamică;
- problema fluxului minim în rețele dinamice bipartite, abordarea dinamică;
- determinarea fluxului maxim sau minim în rețele dinamice bipartite cu alți algoritmi;
- alte probleme de fluxuri în rețele dinamice.

Cercetările viitoare ale autoarei acestei teze se vor direcționa și spre problemele prezentate mai sus.

Rezultate originale:

1. studiul din **capitolul 2, secțiunea 2.2.2** privind fluxul maxim în rețele dinamice planare cu margine inferioară pozitivă a fost publicat în lucrarea: **C. Schiopu, E. Ciurea, Maximum flows in planar dynamic networks with lower bounds**, Fundamenta informaticae, Vol. 163(2), 2018, pp. 189-204 - jurnal indexat ISI cu **Factor de Impact 0.725 și SRI: 0.531**
2. studiul realizat în **secțiunea 2.2.1** cu privire la abordarea dinamică a fluxului maxim în rețele dinamice planare cu margine inferioară zero a fost publicat în lucrarea: **C. Schiopu, E. Ciurea, The maximum flows in planar dynamic networks**, International Journal of Computers Communications & Control, Vol. 11(2), 2016, pp. 282-291 - jurnal indexat ISI cu **Factor de Impact 1.290 și SRI: 0.338**
3. studiul realizat în **secțiunea 2.2.3** cu privire la abordarea dinamică a fluxului minim în rețele dinamice planare se regăsește în lucrarea: **E. Ciurea, C. Schiopu, The minimum flows in directed planar networks**, lucrare prezentată în cadrul International Conference on Control, Decision and Information Technologies 2019, Franța - conferință indexată ISI
4. studiul realizat în **secțiunea 3.1.1** cu privire la abordarea statică privind fluxul maxim în rețele dinamice bipartite cu marginea inferioară zero a fost publicat în lucrarea: **C. Schiopu, The maximum flows in bipartite dynamic networks. The static approach.**, Annals of the University of Craiova - Mathematics

and Computer Science Series, Vol. 43(2), 2016, pp. 200-209 - jurnal indexat în WOS, însă fără factor de impact

5. studiul din **secțiunea 3.1.2**, privind fluxul maxim în rețele dinamice bipartite cu margine inferioară pozitivă a fost publicat în lucrările: **C. Schiopu**, E. Ciurea, Two flow problems in dynamic network, International Journal of Computers Communications & Control, Vol. 12(1), 2017, pp. 103-115 - jurnal indexat ISI cu **Factor de Impact 1.290 și SRI: 0.338** și **C. Schiopu**, E. Ciurea, The maximum flows in bipartite dynamic networks with lower bounds. The static approach. în Proceedings in IEEE Xplore of the 6th International Conference on Computers, Communications and Control (ICCCC), Oradea, România, 2016, pp. 10-15.
6. construcția rețelei statice expandate reduse cu drumuri dinamice și studiul din **secțiunea 3.2.1** cu privire la abordarea dinamică a fluxului maxim în rețele dinamice bipartite cu margine inferioară zero a fost publicat în lucrarea: **C. Schiopu**, The maximum flows in bipartite dynamic networks, Bulletin of the Transilvania University of Brașov Vol. 7(56), 2014, pp. 193-202

Rezultate originale trimise spre publicare:

1. studiul realizat în **secțiunea 2.1.2** cu privire la fluxul maxim în rețele dinamice planare cu margine inferioară zero se regăsește în lucrarea: **C. Schiopu**, Maximum flows in planar dynamic networks. The static approach - lucrare trimisă spre recenzie la revista Romanian Journal of Information Science and Technology - **Factor de Impact 0.288 și SRI: 0.197**
2. studiul din **secțiunea 3.1.3** cu privire la fluxurile minime în rețele dinamice bipartite se regăsește în lucrarea: E. Ciurea, **C. Schiopu**, The minimum flows in bipartite dynamic Networks. The static approach. - lucrare trimisă spre recenzie la revista Informatica an International Journal of Computing and Informatics

Alte studii realizate de-a lungul studiilor doctorale sunt:

1. studiul fluxului minim în rețele orientate planare $s-t$ în lucrarea: E. Ciurea, O. Georgescu, **C. Schiopu** Minimum flows in directed s-t planar networks with arcs and nodes capacities publicată în proceeding-ul International Conference on Control, Decision and Information Technologies 2018, Grecia - conferință indexată ISI.
2. studiul fluxului minim în rețele planare $1-n$ statice orientate și în rețele dinamice cu arce și noduri capacitate în lucrarea: E.

Ciurea, O. Georgescu, **C. Schiopu** Minimum flows in directed 1-n planar static and dynamic networks with arcs and nodes capacities - lucarare trimisă spre recenzie la revista Journal of Circuits, Systems and Computers - **Factor de Impact 0.595 și SRI: 0.183**

3. studiul privind problema fluxului maxim în rețele dinamice publicat în lucrările: **C. Schiopu** Applications of the maximal dynamic network flow problem în proceeding-ul 14th International Conference on Mathematics and Applications 2015, Politehnica University of Timișoara, România și **C. Schiopu** An applications of freight systems, Bulletin of the Transilvania University of Brașov Vol. 8(57), 2015, pp. 499-506.
4. studiul privind problema fluxului maxim în rețele dinamice bipartite cuprins în lucrarea: **C. Schiopu** Maximum Flows in Bipartite Dynamic Network - trimisă spre recenzie la Bulletin of the Transilvania University of Brașov.

Bibliografie

- [1] R. Ahuja and J. Orlin and C. Stein and R. Tarjan: Improved algorithms for bipartite network flows. *SIAM Journal of Computing* 23 (1994), 5, 906–933.
- [2] R. Ahuja and T. Magnanti and J. Orlin: Network Flows. Theory, algorithms and applications. Prentice Hall, Inc., Upper Saddle River, NJ, 1993.
- [3] J.E. Aronson: A survey of dynamic network flows. *Annals of Operation Research* 20(1) (1989), 1–66.
- [4] M. S. Bazaraa and J. J. Jarvis and H. D. Sherali: Linear Programming and Network Flows (Fourth Edition). Wiley, Hoboken, NJ, 2010.
- [5] J.A. Bondy and U.S.R. Murty: Graph theory with applications. Macmillan, London, 1976.
- [6] G. Borradaile and P.N. Klein and S. Mozes and Y. Nussbaum and C. Wulf-Nilsen: Multiple-source multiple-sink maximum flow in directed planar graph in near-lineare time. In: Proceedings of the 2011 IEEE 52nd Annual Symposium on Foundations of Computer Science, Palm Springs, California, USA, 2011, pp. 170–179.
- [7] G. Borradaile and P. Klein: An $O(n\log n)$ algorithm for maximum st-flow in a directed planar graph. *J. ACM* 56 (2006), 2, 1–30.
- [8] X. Cai and D. Sha and C. Wong: Time-varying Network Optimization. Springer, 2007.
- [9] W.K. Chen: Theory of Nets: Flows in Networks. Wiley, New York, 1990.
- [10] L. Ciupală: Algoritmi fundamentali din teoria grafurilor. Aplicații. Editura Universității Transilvania Brașov, Brașov, 2007.
- [11] L. Ciupală and E. Ciurea : A parallel algorithm for the minimum flow problem in bipartite networks. In: Proceedings of the 12th WSEAS International Conference on COMPUTERS, Heraklion, Greece, 2008, pp. 203–207.
- [12] L. Ciupală and E. Ciurea : About preflow algorithms for the minimum flow problem. In: Journal WSEAS Transaction on Computer Research, 3 (2008), pp. 35–42.
- [13] L. Ciupală and E. Ciurea : Sequential and parallel deficit scaling algorithms for the minimum flow in bipartite networks. In: Journal WSEAS Transaction on Computer Research, 7(10) (2008), pp. 1545–1554.
- [14] L. Ciupală and E. Ciurea : A highest-label preflow algorithm for the minimum flow problem. In: Proceedings of the 11th WSEAS International Conference on COMPUTERS, Agios Nikolaos, Crete Island, Greece, 2007, pp. 168–171.
- [15] L. Ciupală and E. Ciurea: A parallel FIFO preflow algorithm for the minimum flow problem. *International Journal of Computers, Communications and Control* 1 (2006), 5, 135–139.
- [16] E. Ciurea: Algoritmi: Introducere în algoritmica grafurilor. Editura Tehnică, Bucureşti, 2001.
- [17] E. Ciurea: Les problèmes des flots dynamiques. *Cahiers du CERO* 26 (1984), 3–9.

- [18] E. Ciurea: An algorithm for minimal dynamic flow. *Korean Journal of Computational and Applied Mathematics* 7 (2000), 2, 259–269.
- [19] E. Ciurea: Second best temporally repeated flow. *Korean Journal of Computational and Applied Mathematics* 9(1) (2002), 77–86.
- [20] E. Ciurea and L. Ciupală: Algoritmi. Introducere în algoritmica fluxurilor în rețele. Editura Matrix Rom, București, 2006.
- [21] E. Ciurea and L. Ciupală: A C-scaling algorithm for the minimum flow problem. In: Proceedings of the Seventh Balkan Conference on Operational Research, 2005, pp. 1–4.
- [22] E. Ciurea and L. Ciupală: A L-scaling algorithm for the minimum flow problem. In: Proceedings of the Seventh International Conference on Operation Informatics in Economy, 2005, pp. 556–561.
- [23] E. Ciurea and L. Ciupală: Sequential and parallel algorithms for minimum flows. *Journal of Applied Mathematics and Computing* 15 (2004), 1-2, 53–75.
- [24] E. Ciurea and L. Ciupală: Algorithms for minimum flows. *Computer Science Journal of Moldova* 9 (2001), 3(27), 275–290.
- [25] E. Ciurea and O. Georgescu: Minimm flows in directed s-t planar networks. *Bulletin Mathematique de la Société des Sciences Mathématiques de Roumaine* 53(101) (2010), 4, 305–313.
- [26] E. Ciurea and O. Georgescu and M. Iolu: Algorithms for minimum flows. Dynamic tree implementation. *Studia Universitas Babes Bolyai, Informatică* LIII (2008), 1, 73–82.
- [27] E. Ciurea and O. Georgescu: Minimum flow in unit capacity networks. *Analele Universității București LV* (2006), 1, 11–20.
- [28] E. Ciurea and O. Georgescu and D. Marinescu: Improved algorithms for minimum flows in bipartite networks. *International Journal of Computers* 2 (2008), 4, 351–360.
- [29] E. Ciurea and O. Georgescu and D. Marinescu: Minimum flows in bipartite networks. In: Proceedings of the 10th WSEAS International Conference on Mathematical and Computational Methods in Science and Engineering (MACMESE '08), Bucharest, România, 2008, pp. 491–495.
- [30] E. Ciurea and O. Georgescu and C. Schiopu: Minimum flows in directed s-t planar networks with arcs and nodes capacities. In: Proceedings of the 5th International Conference on Control, Decision and Information Technologies (CoDIT '18), Thessaloniki, Greece, 2018, pp. 110–115.
- [31] E. Ciurea and O. Georgescu and C. Schiopu: Minimum flows in directed 1-n planar static and dynamic networks with arcs and nodes capacities. *Journal of Circuits, Systems, and Computers*, trimisă spre publicare.
- [32] E. Ciurea and C. Schiopu: The Minimum Flows in Bipartite Dynamic Networks. The Static Approach. *Informatica an International Journal of Computing and Informatics*, trimisă spre publicare.
- [33] E. Ciurea and C. Schiopu: Minimum flows in directed planar dynamic networks. 6th International Conference on Control, Decision and Information Technologies, Paris, France, 2019, in curs de publicare.
- [34] C. Croitoru: Tehnici de bază în optimizarea combinatorie. Editura Universității Al. I. Cuza, Iași, 1992.
- [35] G. Demoucron and Y. Malgrange and R. Pertuiset: Graphes planaires: reconnaissance et construction de représentations planaires topologiques. *Rev. Francaise Recherche Opérationnelle* 8 (1964), 33–47.
- [36] E. Dinic: Algorithm for solution of a problem of maximum flow in network with power estimation. *Soviet Mathematics Doklady* 11 (1970), 5, 1277–1280.

- [37] S. Even and R. Tarjan: Network flow and testing graph connectivity. SIAM Journal on Computing 4 (1975), 4, 507–518.
- [38] J. Fakcharoenphol and S. Rao: Planar graphs, negative weight edges, shortest paths, and near linear time. Journal of Computer and System Sciences 72 (2006), 5, 868–889.
- [39] L. Ford and D. Fulkerson: Flows in Networks. Princeton University Press, Princeton, NJ, 1962.
- [40] L. Ford and D. Fulkerson: Maximal flows through a network. Canadian Journal Mathematics 8 (1956), 399–404.
- [41] G. Frederickson: Fast algorithms for shortest path in planar graphs, with applications. SIAM Journal on Computing 16(6) (1987), 1004–1022.
- [42] O. Georgescu: Algorithms for minimum flows. Dynamic tree implementation. Bulletin of the Transilvania University of Brașov. Series III: Mathematics, Informatics, Physics 1,(50) (2008), 4, 513–524.
- [43] O. Georgescu: Minimum flow in network using dynamic tree implementation. In: Proceedings of the 3rd Annual South-East European Doctoral Student Conference, 2008, pp. 192–204.
- [44] O. Georgescu and E. Ciurea: Minimum flows in directed $s - t$ planar networks. Bull. Math. Soc. des Sci. Math. Roumanie Tome 53(101) (2010), 4, 305–313.
- [45] O. Georgescu and E. Ciurea: An algorithm for minimum flows. In: WSEAS Transaction on Computers, 2008, pp. 2042–2051.
- [46] O. Georgescu and E. Ciurea: Decreasing path algorithm for minimum flow. Dynamic tree implementation. In: Proceedings of the 12st WSEAS International Conference on Computers, 2008, pp. 235–240.
- [47] A. Gibbons: Algorithmic graph theory. Cambridge Univ. Press, Cambridge, 1984.
- [48] A.V. Goldberg and R.E. Tarjan: A new approach to the maximum flow problem. Journal of ACM 35 (1988), 4, 921–940.
- [49] D. Gusfield and C. Martel and D. Fernandez-Baca: Fast algorithms for bipartite network flow. SIAM Journal on Computing 16(2) (1987), 237–251.
- [50] H.W. Hamacher and S.A. Tjandra: Mathematical modelling of evacuation problems: a state of the art. Berichte des Fraunhofer ITWM (2001), 24, 1–38.
- [51] R. Hassin: Maximum flow in (s, t) planar networks. Information Processing Letters 13 (1981), 3, 107–117.
- [52] R. Hassin and D.B. Johnson: An $O(n \log^2 n)$ algorithm for maximum flow in undirected planar networks. SIAM Journal on Computing 14 (1985), 3, 612–624.
- [53] J. Hopcroft and R.E. Tarjan: Efficient planarity testing. JACM 21(4) (1974), 1, 549–568.
- [54] A. Itai and Y. Shiloach: Maximum flow in planar networks. SIAM Journal on Computing 8 (1979), 2, 135–150.
- [55] D.B. Johnson and S. Venkatesan: Using divide and conquer to find flows in directed planar networks in $O(n^{3/2} \log n)$ time. In: Proceedings of the 20th Annual Allerton Conference on Communication, Control, and Computing, Allerton House, Monticello, 1982, pp. 898–905.
- [56] D. Jungnickel: Graphs, networks and algorithms. Springer, Berlin, 1999.
- [57] A Karzanov and J. Naor: Determining the maximal flow in a network by the method of preflows. Doklady Mathematics 15 (1974), 434–437.
- [58] S. Khuller and J. Naor: Flows in planar graphs with vertex capacities. Algorithmica 11 (1994), 3, 200–225.

- [59] P.N. Klein: Multiple-source shortest path in planar graphs. In: proceedings of the 16th Annual ACM-SIAM Symposium on Discrete Algorithm, 2005, pp. 146–155.
- [60] P.N. Klein and S. Subramanian: A fully dynamic approximation scheme for shortest paths in planar graphs. *Algorithmica* 22 (1998), 3, 235–249.
- [61] G.L. Miller: Finding small simple cycle separators for 2-connected planar graphs. *Journal of Computer and System Sciences* 32 (1986), 3, 265–279.
- [62] G.L. Miller and J. Naor: Flow in planar graphs with multiple sources and sinks. *SIAM Journal on Computing* 24 (1995), 5, 1002–1017.
- [63] S. Mozes and C. Wulff-Nilsen: Shortest path in planar graphs with real lengths in $O(n \log^2 n / \log \log n)$ time. In: Proceedings of the 18th European Symposium on Algorithms, Liverpool, UK, 2010, pp. 206–217.
- [64] H.F. Salehi and S. Khadayifar and M.A. Raayatpanoh: Minimum flow problem on network flows with time-varying bounds. *Applied Mathematical Modelling* 36 (2012), 9, 4414–4421.
- [65] **C. Schiopu:** The maximum flows in bipartite dynamic networks. The static approach. *Annals of the University of Craiova - Mathematics and Computer Science Series* 43 (2016), 2, 200–209
- [66] **C. Schiopu:** Applications of the maximal dynamic network flow problem. In: Proceedings of the 14th International Conference on Mathematics and its Applications Politehnica University of Timișoara, România, 2015, pp. 113–120.
- [67] **C. Schiopu:** An application of freight systems. *Bulletin of the Transilvania University of Brașov* 8(57) (2015), 2, 499–506
- [68] **C. Schiopu:** The maximum flows in bipartite dynamic networks. *Bulletin of the Transilvania University of Brașov* 7(56) (2014), 2, 193–202.
- [69] **C. Schiopu:** Maximum flows in planar dynamic networks. The static approach. *Romanian Journal of Information Science and Technology*, trimisă spre publicare.
- [70] **C. Schiopu** and E. Ciurea: Two flow problems in dynamic networks. *International Journal of Computers Communications & Control* 12(1) (2017), 1, 103–115
- [71] **C. Schiopu** and E. Ciurea: The maximum flows in planar dynamic networks. *International Journal of Computers Communications & Control* 11(2) (2016), 2, 282–291
- [72] **C. Schiopu** and E. Ciurea: The maximum flows in bipartite dynamic networks with lower bounds. The static approach. In: Proceedings in IEEE Xplore of the 6th International Conference on Computers, Communications and Control (ICCCC), Oradea, România, 2016, pp. 10–15.
- [73] **C. Schiopu** and E. Ciurea: Maximum flows in planar dynamic networks with lower bounds. *Fundamenta Informaticae*, 163 (2018), 2, 189–204
- [74] **C. Schiopu:** Maximum Flows in Bipartite Dynamic Networks. *Bulletin of the Transilvania University of Brașov Series III*, trimisă spre publicare.
- [75] M. Skutella: An Introduction to Network Flows Over Time. In book: Research Trends in Combinatorial Optimization, (2009), 451–482.
- [76] D.D. Sleator and R.E. Tarjan: A data structure for dynamic trees. *J. Comput. System Sci.* 26 (1983), 3, 362–391.
- [77] S.A. Tjandra: Dynamic Network Optimization with Application to the Evacuation Problem. Dissertation, Universitat Kaiserslautern, 2003.
- [78] I. Tomescu: Probleme de combinatorică și teoria grafurilor. Editura Didactică și Pedagogică, București, România, 1981.
- [79] W. Wilkinson: An Algorithm for universal maximal dynamic flows in a network. *Oper. Res.* 19 (1971), 7, 1602–1612.

Anexe

Anexa 1. Scurt rezumat al tezei

Teza de doctorat, intitulată *Clase de fluxuri dinamice*, este structurată în 4 capitoare, un capitol care conține noțiuni utilizate pe parcursul acestei lucrări, 2 capitoare care conțin rezultate originale și un capitol cu aplicații și concluzii. Primul capitol, intitulat *Fluxuri în rețele*, descrie noțiuni generale privind fluxurile în rețele prezentând algoritmi pentru determinarea fluxurilor în rețele statice oarecare și în rețele statice speciale, precum și algoritmi pentru determinarea fluxurilor în rețele dinamice oarecare. În capitolul 2, intitulat *Fluxuri în rețele dinamice planare*, am prezentat modul în care este construită rețeaua statică expandată redusă cu drumuri dinamice și am dezvoltat algoritmi pentru flux maxim și algoritmi pentru flux minim folosind abordarea statică și cea dinamică. Algoritmi propuși în acest capitol sunt prezentăți în detaliu, în pseudocod. În capitolul 3, intitulat *Fluxuri în rețele dinamice bipartite*, am studiat problema fluxului maxim și cea a fluxului minim în rețele dinamice bipartite folosind abordarea statică și fluxul maxim în rețele dinamice bipartite cu margine inferioară zero folosind abordarea dinamică. În ultimul capitol sunt prezentate concluziile finale obținute în urma cercetării claselor de fluxuri dinamice, fiind descrise contribuțiile aduse temei abordate, realizând, totodată, o analiză comparativă a complexității algoritmilor referitor la abordarea statică și cea dinamică și prezentând o aplicație a fluxurilor dinamice. Rezultatele cuprinse în această teză pot fi extinse și în alte probleme de fluxuri în rețele dinamice.

* * *

*

The PhD thesis entitled, *Dynamic Flow Classes*, is structured into 4 chapters: a chapter that contains notions used during this work, 2 chapters that contain original results and a chapter with conclusions and further research. The first chapter, entitled *Flows in Networks*, describe general concepts of network flows presenting algorithms for determination of flows in general static network and special static network, as well as algorithms for determining flows in general dynamic networks. In the second chapter, entitled *Flows in planar dynamic*

networks, we presented how is constructing the static reduced expanded network with dynamic paths and we have developed algorithms for maximum and minimum flows using static approach and dynamic approach. The algorithms proposed in this chapter are presented, in detail, in the pseudocode. In Chapter 3, entitled *Flows in Dynamic Bipartite Networks*, we studied the problem of the maximum flow and the minimum flow in the bipartite dynamic networks using static approach and the maximum flow in dynamic bipartite networks with lower bound zero using dynamic approach.

In the last chapter are presented the final conclusions obtained from the research of dynamic flow classes, describing the contributions to the topic approached, while also performing a comparative analysis of the complexity of the algorithms regarding the static and the dynamic approach and presenting an application of dynamic flows. The results contained in this thesis can be extended to other problems of flows in dynamic networks.

Anexa 2. Curriculum Vitae

Informații personale	Camelia SCHIOPU E-mail: camelia.s@unitbv.ro
Experiență profesională	2008-prezent – asistent universitar în cadrul Departamentului de Management și informatică economică al Facultății de Științe Economice și Administrarea Afacerilor a Universității <i>Transilvania</i> din Brașov 2005-2011 – analist în cadrul Departamentului de Informatizare al Universității <i>Transilvania</i> din Brașov 1998-2005 – informatician în cadrul serviciului Secretariat Rectorat al Universității <i>Transilvania</i> din Brașov
Educație	2014-prezent – doctorand, domeniul informatică, Facultatea de Matematică și Informatică, Universitatea <i>Transilvania</i> , Brașov 2009-2010 – studii postuniversitare în specializarea Antreprenoriat și Supply Chain Management Facultatea de Științe Economice și Administrarea Afacerilor, Universitatea <i>Transilvania</i> din Brașov, 2005-2007 - studii de mastrat în specializarea Tehnologii Internet Facultatea de Matematică și Informatică, Universitatea <i>Transilvania</i> din Brașov, 1999-2003 – studii de licență în informatică, Facultatea de Matematică și Informatică, Universitatea <i>Transilvania</i> , Brașov 1995-1998 – studii superioare de scurtă durată în informatică, Colegiul Universitar, Forestier, Economic și de Informatică, Universitatea <i>Transilvania</i> , Brașov
Competențe lingvistice	Limbi străine cunoscute/Autoevaluare: Engleză – înțelegere-mediu, vorbire-mediu, scriere-mediu Franceză – înțelegere-începător, vorbire-începător, scriere-începător
Experiență în cercetare	3 lucrări științifice în reviste ISI 10 lucrări științifice în reviste BDI 7 participări la conferințe internaționale - membru în echipa proiectului de cercetare <i>Modele și indicatori de evaluare în contextul societății a calității cercetării științifice, în universități bazate pe cunoaștere</i> , în perioada 2006-2008

Personal information	Camelia SCHIOPU E-mail: camelia.s@unitbv.ro
Work experience	<p>2008-now – Assistant professor, Department of Management and Economic Informatics, Faculty of Economic Sciences and Business Administration, <i>Transilvania</i> University of Brașov</p> <p>2005-2011 – analyst in the IT department of the <i>Transilvania</i> University of Brașov</p> <p>1998-2005 – informatician at the Rectorate Secretariat <i>Transilvania</i> University of Brașov</p>
Education	<p>2014-now – PhD student in Informatics, Faculty of Mathematics and Computer Science, <i>Transilvania</i> University of Brașov</p> <p>2009-2010 – Postgraduate studies in specializarea Entrepreneurship and Supply Chain Management, Faculty of Economic Sciences and Business Administration, <i>Transilvania</i> University of Brașov</p> <p>2005-2007 - Master studies in Internet Technology Faculty of Mathematics and Computer Science, <i>Transilvania</i> University of Brașov</p> <p>1999-2003 – Bachelor degree in Informatics, Faculty of Mathematics and Computer Science, <i>Transilvania</i> University of Brașov</p> <p>1995-1998 – Short-term higher education in informatics, University College, Forestry, Economic and Informatics, <i>Transilvania</i> University of Brașov</p>
Personal skills	Foreign languages/Self-evaluation: English – understanding-medium, speaking-medium, writing-medium
Experience in research	<p>3 scientific papers in ISI journals</p> <p>10 scientific papers in BDI journals</p> <p>7 participation at international conferences</p> <p>- team member of the projects <i>Models and indicators for assessing the quality of scientific research in universities in the context of knowledge, based society</i> during 2006-2008</p>